


2019

Weekly / Semanal **Influenza Report EW 14/ Reporte de Influenza SE 14**

Regional Update: Influenza & Other Respiratory Viruses /
Actualización Regional: Influenza y Otros virus respiratorios



April 17, 2019
17 de abril de 2019

*Data as of April 12, 2019/
Datos hasta el 12 de abril de 2019*

*Prepared by PHE/IHM/Influenza Team/
Realizado por PHE/IHM/Equipo de Influenza*

WEEKLY REPORT DATA SOURCES

The information presented in this update is based on data provided by Ministries of Health and National Influenza Centers of Member States to the informatics global platforms http://www.who.int/influenza/gisrs_laboratory/flunet/en/ and http://www.who.int/influenza/surveillance_monitoring/fluid/en/; and reports/weekly bulletins that Ministries of Health published on its website or shared with PAHO/WHO.

La información presentada en esta actualización se obtiene a partir de los datos notificados por los Ministerios de Salud y los Centros Nacionales de Influenza de los Estados Miembros a las plataformas informáticas globales de la OPS/OMS: [FluNet](#) y [FluID](#); y de los informes/boletines semanales que los Ministerios de Salud publican en sus páginas web o comparten con OPS/OMS.

PAHO INFLUENZA LINKS

PAHO interactive data / Datos interactivos de la OPS:

PAHO FluNet: http://ais.paho.org/hip/viz/ed_flu.asp

PAHO FluID: <http://ais.paho.org/hip/viz/flumart2015.asp>

Influenza Regional Reports / Informes regionales de influenza

In English: <https://www.paho.org/hq/influenzareport>

En español: www.paho.org/reportesinfluenza

**Severe acute respiratory infections network - SARInet
Red de las infecciones respiratorias agudas graves - SARInet:**

<http://www.sarinet.org>

[Go to Index/
Ir al Índice](#)

REPORT INDEX

ÍNDICE DE LA ACTUALIZACIÓN

Section	Content	Page
1	<u>Weekly Summary / Resumen Semanal</u>	4
2	<u>Influenza Global Update 339 / Actualización de influenza a nivel mundial 339</u>	6
3	<u>Overall Influenza and RSV circulation / Circulación general de los virus influenza y VSR</u>	7
4	<u>Weekly and Cumulative numbers / Números semanales y acumulados</u>	8
5	<u>Epidemiological and Virologic update by country / Actualización epidemiológica y virológica por país</u>	9
6	<u>More countries information / Más información de países</u>	28
7	<u>Influenza Human-Animal Interface Update / Actualización de Influenza en la Interface Humano-Animal</u>	32
8	<u>Acronyms / Acrónimos</u>	34

WEEKLY SUMMARY (ENGLISH)

North America: Overall, influenza activity continued decreasing in the sub-region. A(H3N2) virus caused an increased amount of the activity in [Canada](#) and in the [United States](#). In [Mexico](#), influenza activity continued decreasing.

Caribbean: Influenza virus activity decreased throughout the sub-region. In [Cuba](#), RSV detections continued increasing.

Central America: Influenza activity continued low across the sub-region. [Guatemala](#) reported moderate influenza activity. [El Salvador](#) reported increased RSV activity.

Andean Region: Influenza activity decreased in the sub-region with influenza A(H3N2) predominance. Moderate RSV activity in [Ecuador](#).

Brazil and Southern Cone: Overall, influenza remained at inter-seasonal levels throughout the subregion. Moderate RSV activity reported in [Paraguay](#).

Global: In Europe, influenza activity decreased across the continent. In North Africa, influenza detections were low across reporting countries. In Western Asia, influenza activity appeared to decrease overall, with exception of Saudi Arabia where activity remained elevated. In East Asia, decreased influenza activity continued to be reported. In Southern Asia, influenza appeared to decrease. In the temperate zones of the southern hemisphere, influenza activity remained at inter-seasonal levels, with the exception of some parts of Australia where influenza activity was above inter-seasonal levels.

RESUMEN SEMANAL (ESPAÑOL)

América del Norte: en general, la actividad de influenza continuó disminuyendo en la subregión. El virus influenza A(H3N2) causó un aumento de la actividad en [Canadá](#) y en los [Estados Unidos](#). En [México](#), la actividad de influenza siguió disminuyendo.

Caribe: la actividad de influenza disminuyó en toda la subregión. En [Cuba](#), las detecciones de VRS continuaron en aumento.

América Central: la actividad de influenza continuó baja en toda la subregión. [Guatemala](#) reportó actividad moderada de influenza. El Salvador reportó aumento en la actividad de VRS.

Región andina: la actividad de influenza disminuyó en la subregión con predominio de influenza A (H3N2). La actividad de VRS aumentó en [Ecuador](#).

Brasil y Cono Sur: en general la actividad de influenza se mantuvo en niveles interestacionales. [Paraguay](#) reportó actividad moderada de VRS.

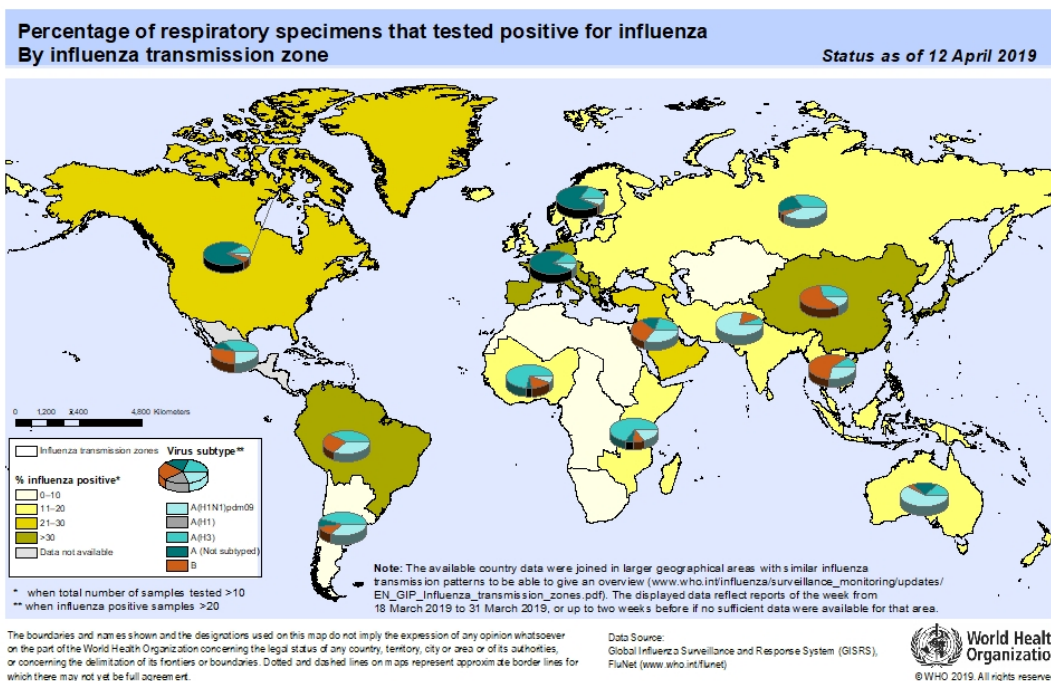
Mundial: en Europa, la actividad de influenza disminuyó en todo el continente. En el norte de África, las detecciones de influenza fueron bajas en todos los países que reportaron. En Asia occidental, la actividad de la influenza pareció disminuir en general, con la excepción de Arabia Saudita donde la actividad se mantuvo elevada. En el este de Asia, la actividad de influenza disminuyó continuó el reporte. En el sur de Asia, la influenza pareció disminuir. En las zonas templadas del hemisferio sur, la actividad de influenza permaneció en niveles interestacionales, con la excepción de algunas partes de Australia donde la actividad de influenza estuvo por encima de los niveles interestacionales.

Influenza Global Update 339 / Actualización de influenza a nivel mundial 339
April 15, 2019 / 15 de abril de 2019
Based on data up to March 31, 2019 / basado en datos hasta el 31 de marzo de 2019

Global Level /
Nivel Mundial

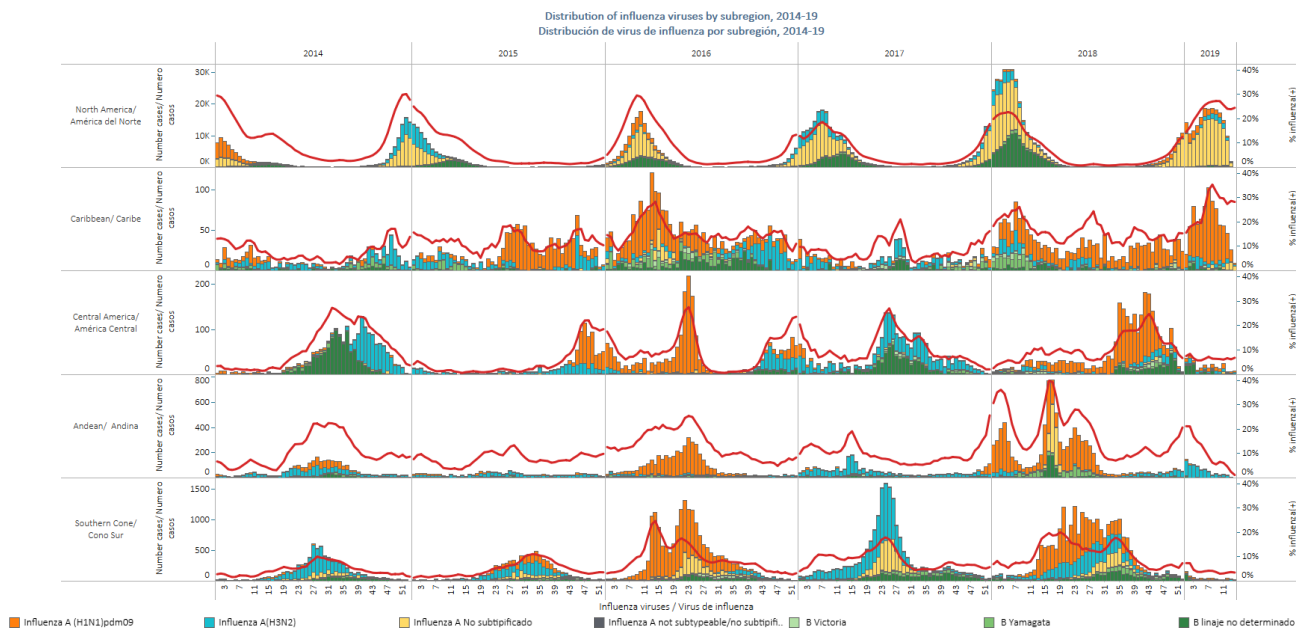
In the temperate zone of the northern hemisphere influenza activity decreased overall. In North America, influenza activity appeared to decrease with influenza A(H3N2) the dominant virus. In Europe, influenza activity decreased across the continent. Influenza A(H3N2) was the most frequently identified subtype. In North Africa, influenza detections were low across reporting countries. In Western Asia, influenza activity appeared to decrease overall, with exception of Saudi Arabia where activity remained elevated. In East Asia, although decreased influenza activity continued to be reported. In Southern Asia, influenza appeared to decrease with influenza A(H1N1)pdm09 virus predominating. In the temperate zones of the southern hemisphere, influenza activity remained at inter-seasonal levels, with the exception of some parts of Australia where influenza activity was above inter-seasonal levels. Worldwide, seasonal influenza A viruses accounted for the majority of detections. / En general, en la zona templada del hemisferio norte, la actividad de la influenza disminuyó. En América del Norte, la actividad de la influenza pareció disminuir con predominancia de influenza A(H3N2). En Europa, la actividad de influenza disminuyó en todo el continente. Ambos virus de influenza A circularon simultáneamente. En el norte de África, algunos países todavía reportaron actividad de influenza. En Asia occidental, en general, la actividad de influenza pareció disminuir con excepción de Arabia Saudita donde la actividad se mantuvo elevada. En el este de Asia, continuó el reporte de influenza a pesar de la disminución de la actividad. En el sur de Asia, la influenza pareció disminuir con predominio de influenza A(H1N1)pdm09. En las zonas templadas del hemisferio sur, la actividad de la influenza se mantuvo en niveles interestacionales, con la excepción de algunas partes de Australia donde la actividad de la influenza se mantuvo por encima de los niveles interestacionales. En todo el mundo, los virus de la influenza A representaron la mayoría de las detecciones.

National Influenza Centres (NICs) and other national influenza laboratories from 125 countries, areas or territories reported data to FluNet for the time period from 18 March 2019 to 31 March 2019. The WHO GISRS laboratories tested more than 139623 specimens during that time period. 30960 were positive for influenza viruses, of which 25464 (82.2%) were typed as influenza A and 5496 (17.8%) as influenza B. Of the sub-typed influenza A viruses, 4189 (40.6%) were influenza A(H1N1)pdm09 and 6139 (59.4%) were influenza A(H3N2). Of the characterized B viruses, 154 (3.8%) belonged to the B-Yamagata lineage and 3619 (96.2%) to the B-Victoria lineage. / Los Centros Nacionales de Influenza (NIC) y otros laboratorios nacionales de influenza de 125 países, áreas o territorios reportaron sus datos a FluNet para el período comprendido entre el 18 y el 31 de marzo de 2019. Los laboratorios GISRS de la OMS analizaron más de 139.623 muestras durante ese período, 30.960 fueron positivas para los virus de la influenza, de los cuales 25.464 (82,2%) se tipificaron como influenza A y 5.496 (17,8%) como influenza B. De los virus de influenza A a los cuales se les identificó el subtipo, 4.189 (40,6%) fueron influenza A(H1N1)pdm09 y 6.139 (59,4%) fueron influenza A (H3N2). De los virus B caracterizados, 154 (3,8%) pertenecían al linaje B-Yamagata y 3.619 (96,2%) al linaje B-Victoria.



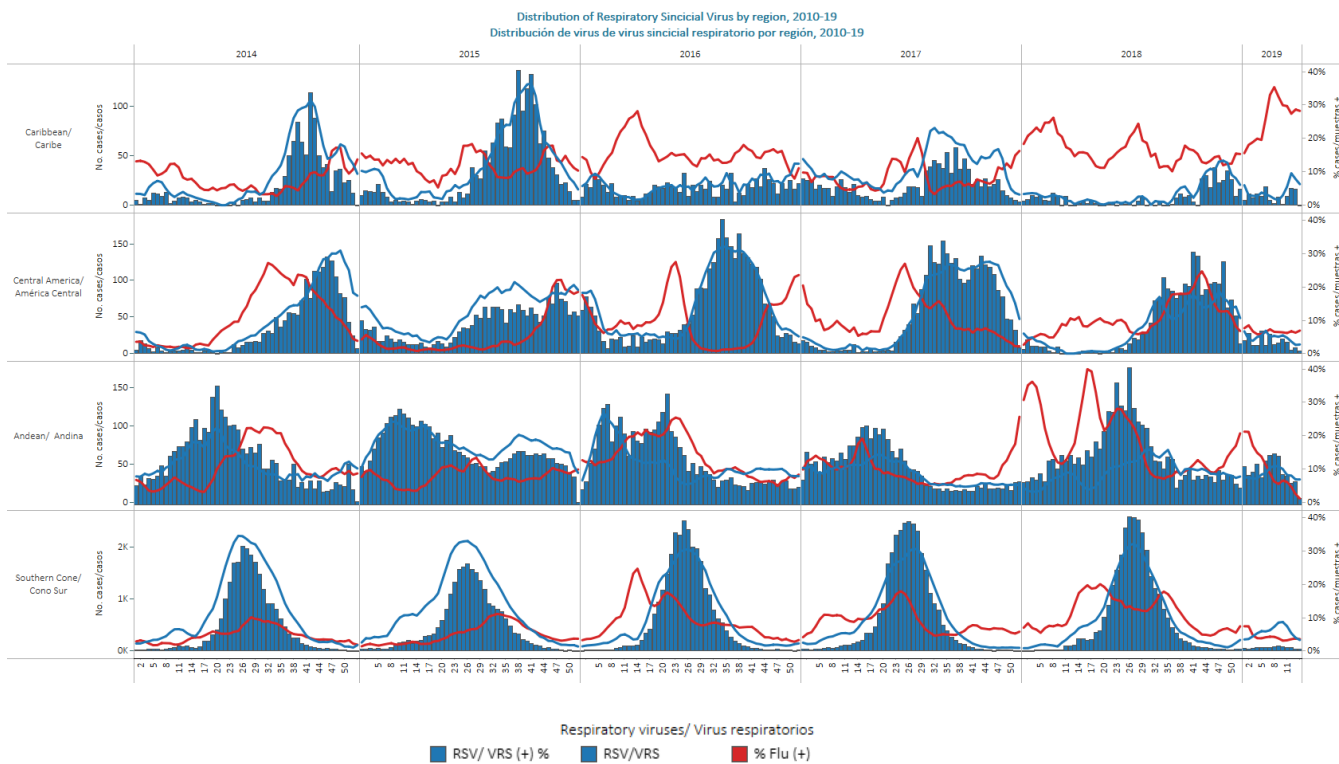
Influenza circulation by subregion, 2014-19 Circulación de virus influenza por subregión, 2014-19

Report Summaries –
Resumen del Reporte



Respiratory syncytial virus (RSV) circulation by subregion, 2014-19

Circulación de virus respiratorio sincitial (VRS) por subregión, 2014-19



*To view more lab data, view [here](#). / Para ver más datos de laboratorio, vea [aquí](#).

Weekly and cumulative numbers of influenza and other respiratory viruses, by country and EW, 2019¹

Números semanales y acumulados de influenza y otros virus respiratorios, por país y SE, 2019²

		EW 14, 2019 / SE 14, 2019																	
		N muestras	FLUAH3	FLU H1N1	Influenza A non-subtyp..	FLUA NoSa	B Victoria	B Yamagata	B linaje no determinado	Influenza (+) %	Adenov..	Parainfl..	VSR	% RSV/VSR (+)	Bocavir..	Corona..	Metapn..	Rinovir..	% All Positive Sample..
North Americ..	Mexico	328	40	12	0	4	8	6	17	26.5%	1	0	1	0%	0	0	0	0	27.1%
Caribbean/ Caribe	Dominican Re..	3			0					0.0%									0.0%
	Jamaica	18	1	1	6	0	0	0	0	44.4%	0	0	0	0%					44.4%
	Suriname	4	0	1	0	0	0	0	0	25.0%	0	0	0	0%	0	0	0	0	25.0%
	Grand Total	1,501	54	25	11	4	8	10	22	9.1%	34	36	41	3%	0	0	5	6	17.2%

		EW 11 - EW 14, 2019 / SE 11 - SE 14, 2019																
		N muestras/muestras	Influenza A (H3N2) *	Influenza A (H1N1) pmd..	Influenza A non-subtyp..	Influenza B Victoria*	Influenza B Yamagata*	Influenza B linaje no determinado	Influenza (+) %	Adenov..	Parainfl..	RSV/VSR	% RSV/VSR (+)	Bocavir..	Corona..	Metapn..	Rinovir..	% All Positive Sample..
North America/ América del Norte	Mexico & Central America	27,803	1,074	454	3,414	0	0	385	19.2%	114	253	1,326	4.8%	0	304	291	327	28.6%
	Mexico	2,440	292	117	0	76	105	55	27.8%	1	2	14	0.6%	0	2	0	5	28.8%
	USA	77,352	1,846	984	17,102	54	19	804	26.9%	0	0	0	0	0	0	0	0	0
Caribbean/ Caribe	Belize	10	0	1	0	0	0	0	10.0%	0	0	0	0.0%	0	0	0	0	10.0%
	CARPHA	7	3	1	0	1	0	0	71.4%	0	0	1	14.3%	0	0	0	1	100.0%
	Cuba	146	0	40	0	0	0	0	27.4%	0	5	21	14.4%	0	8	0	0	51.4%
	Dominican Rep..	51	4	1	0	0	1	0	11.8%	0	2	1	2.0%	0	0	0	0	17.6%
	Jamaica	112	4	22	26	0	0	2	48.2%	0	0	0	0.0%	0	0	0	0	48.2%
	Suriname	61	1	18	0	0	0	0	31.1%	0	0	0	0.0%	0	0	0	0	31.1%
Central America/ América Central	Mexico & Central America	24	1	0	5	0	0	0	25.0%	6	0	1	4.2%	0	0	0	0	54.2%
	El Salvador	126	0	1	0	0	0	0	0.8%	9	6	20	15.9%	0	0	0	0	28.6%
	Guatemala	137	14	15	2	0	1	0	36.5%	4	14	2	1.5%	0	0	6	0	55.5%
	Honduras	50	1	1	0	0	0	1	6.0%	1	0	4	8.0%	0	0	0	0	16.0%
	Nicaragua	439	0	0	0	0	0	3	0.7%	0	9	1	0.2%	0	0	1	0	3.2%
	Panama	116	0	0	0	0	0	0	0.0%	9	16	0	0.0%	2	0	0	48	64.7%
Andean/ Andina	Andean Region	298	8	0	0	0	0	0	2.7%	4	0	18	6.0%	0	0	0	0	10.1%
	Colombia	236	11	7	0	0	0	1	8.1%	9	7	35	14.8%	5	5	5	6	39.0%
	Ecuador	266	4	0	0	0	0	0	1.5%	0	0	22	8.3%	0	0	2	0	10.5%
	Peru	254	14	3	0	0	6	0	9.1%	0	2	6	2.4%	0	0	2	9	16.5%
	Venezuela	1	0	1	0	0	0	0	100.0%	0	0	0	0.0%	0	0	0	0	100.0%
Brazil & Southern Cone/ Brasil y Cono Sur	Brazil & Southern Cone	2	1	0	1	0	0	0	100.0%	0	0	0	0.0%	0	0	0	0	100.0%
	Brazil	713	7	22	0	0	0	21	7.0%	13	12	65	9.1%	0	0	0	10	21.0%
	Chile	2,530	35	23	5	0	6	1	2.8%	81	86	35	1.4%	0	0	4	0	10.9%
	Chile_IRAG	83	0	0	1	0	0	0	1.2%	0	4	3	3.6%	0	0	0	1	12.0%
	Paraguay	391	2	6	0	0	0	0	2.0%	0	1	57	14.6%	0	0	4	0	17.9%
	Paraguay IRAG	211	1	2	0	0	0	0	1.4%	1	2	32	15.2%	0	0	1	0	18.5%
	Uruguay ETI	8	0	0	0	0	0	0	0.0%	0	0	0	0	0	0	0	0	0.0%
	Uruguay IRAG	26	0	1	0	0	2	0	11.5%	0	0	0	0	0	0	0	0	11.5%
Grand Total	113,893	3,323	1,720	20,556	131	140	1,273	23.9%	252	421	1,664	1.5%	7	319	316	407	26.9%	

¹ The detection of respiratory viruses other than influenza depends on the diagnostic capacity of each country and monitoring system. The absence of report of other respiratory viruses does not indicate the absence of their circulation.

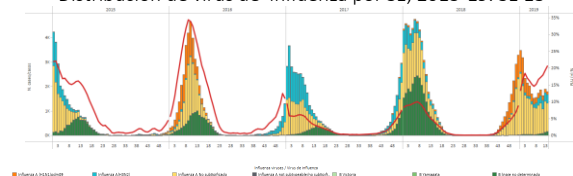
² La detección de otros virus respiratorios diferentes a influenza depende de la capacidad diagnóstica de cada país y del sistema de vigilancia establecido. El que no se reporten otros virus respiratorios, no significa, ni indica la ausencia de circulación viral.

North America / América del Norte

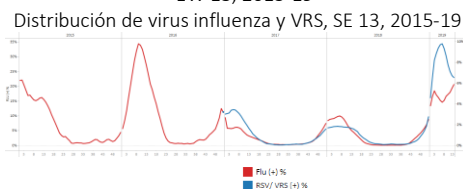
Canada / Canadá

- During EW 9 to EW 13, influenza A(H3N2) increased, although influenza A (H1N1)pdm09 predominated among detections, influenza B also co-circulated (Graph 1). During EW 13, RSV positivity continued to decrease, and influenza detection remained similar to previous weeks (Graph 2). During EW 14, 18 regions reported localized activity: Ont.(6), Que.(1), N.S.(4), N.B.(2), P.E.I.(1), Y.T.(1) and N.L.(3) (Graph 3). The percentage of ILI visits slightly decreased compared to previous week (Graph 4). Overall, during EW 2 to EW 14, pediatric hospitalizations decreased and were within the range of number of cases reported by week from previous seasons (2010-11 to 2017-18) (Graph 5). As of EW 14, 2019, a total of 1,147 pediatric hospitalizations and 203 pediatric ICU admissions were reported. Among adults (≥ 16 years), 46 deaths were reported during EW 14. / De la SE 9 a la SE 13, influenza A(H3N2) aumentó, aunque influenza A(H1N1)pdm09 predominó entre las detecciones e influenza B circuló simultáneamente (gráfico 1). En la SE 13, la positividad del VRS continuó disminuyendo y la detección de influenza se mantuvo similar a las semanas anteriores (Gráfico 2). En la SE 14, 18 regiones informaron actividad localizada: Ont. (6), Que. (1), NS (4), NB (2), PEI (1), YT (1) y NL (3) (Gráfica 3). El porcentaje de visitas por ETI disminuyó ligeramente en comparación con la semana anterior (Gráfico 4). En general, de la SE 2 a la SE 14, las hospitalizaciones pediátricas disminuyeron y estuvieron dentro del rango de casos reportados por semana de temporadas anteriores (2010-11 a 2017-18) (Gráfico 5). A partir de la SE 14, 2019, se reportaron un total de 1.147 hospitalizaciones y 203 admisiones pediátricas en la UCI. Entre los adultos (≥ 16 años), se reportaron 46 muertes durante la SE 14.

Graph 1. Canada: Influenza virus distribution by EW, 2015-19, EW 13
Distribución de virus de influenza por SE, 2015-19. SE 13

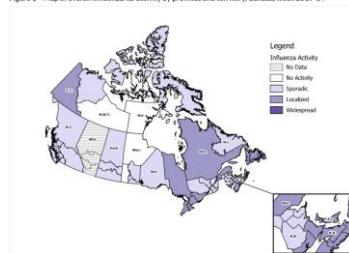


Graph 2. Canada: Influenza and RSV distribution, EW 13, 2015-19
Distribución de virus influenza y VRS, SE 13, 2015-19



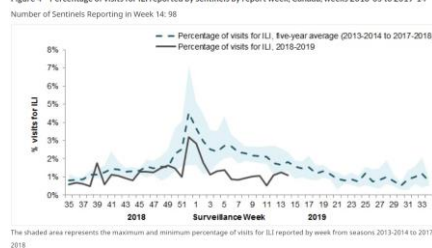
Graph 3. Canada: Influenza activity by provincial and territorial influenza surveillance regions, 2017-2018, EW 14, 2019
Actividad de influenza por regiones de vigilancia de influenza provinciales y territoriales, 2017-2018, SE 14, 2019

Figure 1 - Map of overall influenza/ILI activity by province and territory, Canada, week 2019-14



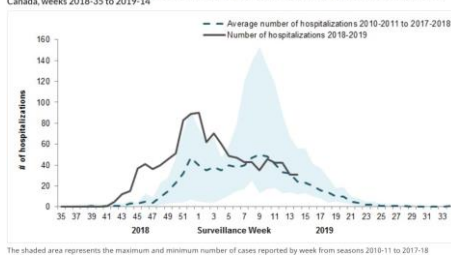
Graph 4. Canada: Percentage of ILI visits by sentinel sites, EW 14, 2019 (in comparison to 2013-2018 seasons)
Porcentaje de casos de ETI por sitio centinela, SE 14, 2019 (en comparación con temporadas 2013-2018)

Figure 4 - Percentage of visits for ILI reported by sentinels by report week, Canada, weeks 2018-35 to 2019-14
Number of Sentinels Reporting in Week: 14, 98



Graph 5. Canada: Number of pediatric hospitalizations (≤16 years old) by EW, EW 35, 2018 to EW 14, 2019
Número de hospitalizaciones pediátricas (≤16 años) por SE, SE 35 2018 a SE 14, 2019

Figure 7 - Number of pediatric (≤16 years of age) hospitalizations reported by the IMPACT network, by week, Canada, weeks 2018-35 to 2019-14



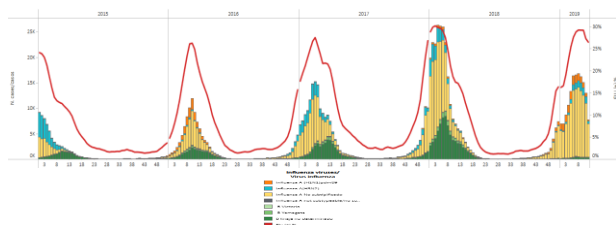
*To view more epi data, view [here](#). / Para ver más datos epi, vea [aquí](#).

United States / Estados Unidos

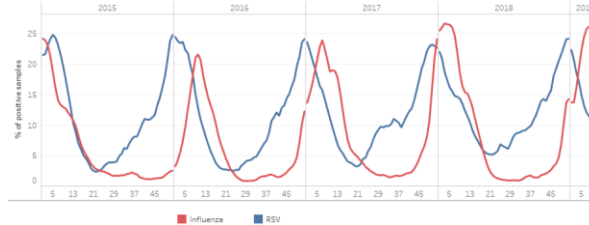
North America-
América del Norte

- In EW 12, overall influenza activity decreased as well as RSV activity (Graphs 1,2). During EW 14, four states (Louisiana, Missouri, South Carolina and Virginia) experienced high ILI activity (Graph 3). Although above the national baseline (2.2%), ILI activity decreased (2.8%) compared to previous weeks. The percentage of outpatient visits for ILI ranged from 1.9% to 3.9% (Graph 4). Overall, 17,295 laboratory-confirmed influenza-associated hospitalizations were reported between October 1, 2018 and April 6, 2019. The highest rate of hospitalization was among adults aged ≥ 65 (195.9 per 100,000 pop), followed by adults aged 50-64 (75.5 per 100,000 pop) (Graph 5). Up to EW 14, a total of 86 influenza-associated pediatric deaths were reported. Following a peak in EW 6, the number of influenza-associated pediatric deaths decreased. (Graph 6). / En la SE 14, cuatro estados (Luisiana, Missouri, Carolina del Sur y Virginia) experimentaron una alta actividad de ETI (Gráfico 3). Si bien por encima de la línea de base nacional (2,2%), la actividad de ETI disminuyó (2,8%) en comparación con las semanas anteriores. El rango para el porcentaje de visitas ambulatorias por ETI varió de 1.9% a 3.9% (Gráfico 4). En general, se notificaron 17.295 hospitalizaciones asociadas a la influenza confirmadas por el laboratorio entre el 1 de octubre de 2018 y el 6 de abril de 2019. La tasa más alta de hospitalización fue entre adultos de ≥ 65 años (195,9 por 100.000 hab.), seguidos de adultos de 50 a 64 años (75,5 por 100.000 hab.) (Gráfico 5). Hasta la SE 14, se reportaron un total de 86 muertes pediátricas asociadas a influenza. Después de alcanzar el pico en la SE 6, el número de muertes pediátricas asociadas a la influenza disminuyó. (Gráfico 6).

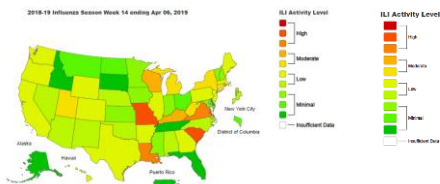
Graph 1. US: Influenza virus distribution by EW 12, 2015-19
Distribución de virus de influenza por SE 12, 2015-19



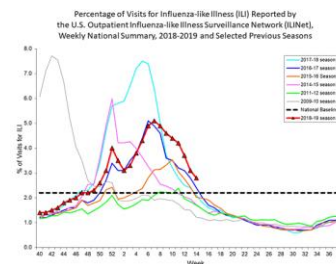
Graph 2. US: Influenza and RSV distribution, EW 12, 2015-19
Distribución de virus influenza y VRS, SE 12, 2015-19



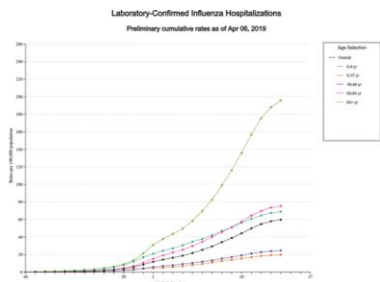
Graph 3. US: ILI activity level indicator determined by state, EW 14, 2018-2019
Indicador de nivel de actividad de ETI por estado, SE 14, 2018-2019



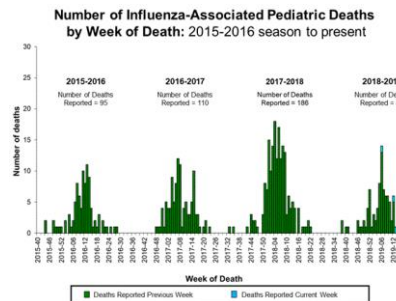
Graph 4. US: Percentage of visits for ILI, 2018-2019. EW 14
Porcentaje de visitas por ETI, 2018-2019. SE 14



Graph 5. US: Laboratory-confirmed influenza hospitalizations rates (per 100,000 population) by age group and EW, EW 14, 2018-2019
Tasas de hospitalizaciones (por 100.000 habitantes) por influenza confirmada por el laboratorio, por grupo de edad y SE, SE 14, 2018-2019



Graph 6. US: Influenza-associated pediatric deaths. EW 14, 2018-2019, in comparison to (2015-16 to 2017-18)
Mortalidad pediátrica asociada a influenza. SE 14, 2018-2019, en comparación con (2015-16 a 2017-18)

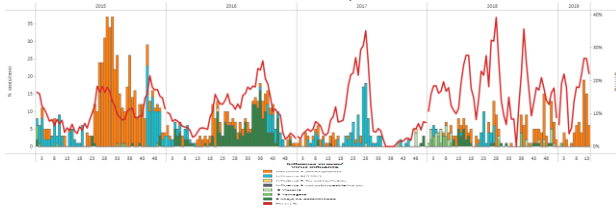


Caribbean / Caribe

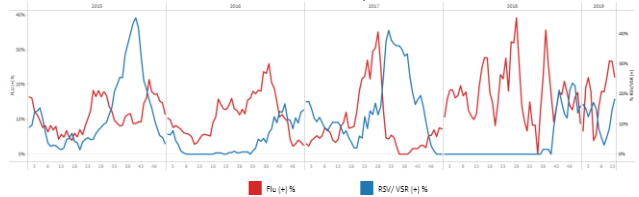
Cuba

- Since EW 6, increased influenza detection was reported with predominance of influenza A(H1N1)pdm09 (Graph 1). Since EW 49, 2018, a downward trend of RSV circulation was observed, however, in EW 9, RSV activity slightly increased (Graph 2). Overall, SARI case counts have increased slowly since EW 1, 2019 and remain within 2014-17 season levels for the same period (Graph 3). / Desde la SE 6, se observó un aumento en la detección de influenza con predominio de influenza A(H1N1)pdm09 (Gráfico 1). Desde la SE 49, 2018, se observó una tendencia a la disminución en la circulación del VRS, aunque desde la SE 9, la actividad del VRS aumentó ligeramente (Gráfico 2). En general, los recuentos de casos de IRAG aumentaron lentamente desde la SE 1, 2019 y se mantuvieron dentro de los niveles de la temporada 2014-17 durante el mismo período (Gráfico 3).

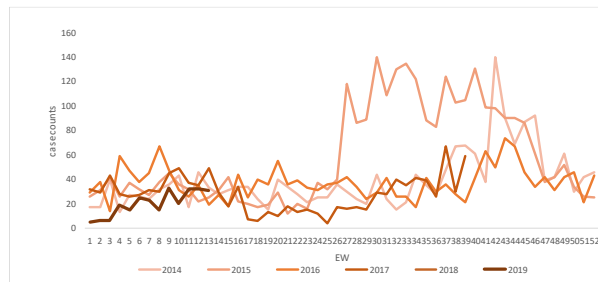
Graph 1. Cuba: Influenza virus distribution by EW, EW 12, 2015-19
Distribución de virus influenza por SE, SE 13, 2015-19



Graph 2. Cuba Influenza and RSV distribution, EW 12, 2015-19
Distribución de virus influenza y VRS, SE 13, 2015-19



Graph 3. Cuba: Number of SARI cases with samples by EW, EW 12, 2014-2019
Número de casos de IRAG con muestras, por SE, SE 12, 2014-2019

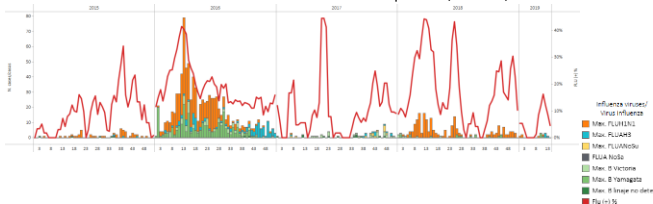


*To view more epi data, view [here](#). / Para ver más datos epi, vea [aquí](#).

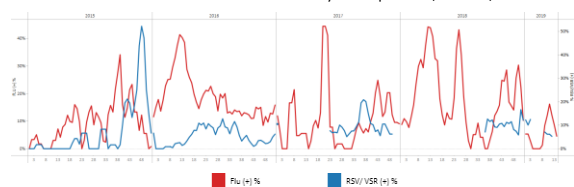
Dominican Republic / República Dominicana

- During EW 14, 2019 influenza detections decreased (Graphs 1,3); and no RSV detections were reported (Graph 2). The percentage of influenza positivity decreased and was below the seasonal threshold (Graph 3). / En la SE 14, disminuyeron las detecciones de influenza 2019 (Gráficos 1,3); y no se reportaron detecciones de VRS (Gráfico 2). El porcentaje de positividad de la influenza disminuyó y estuvo por debajo del umbral estacional (Gráfico 3).

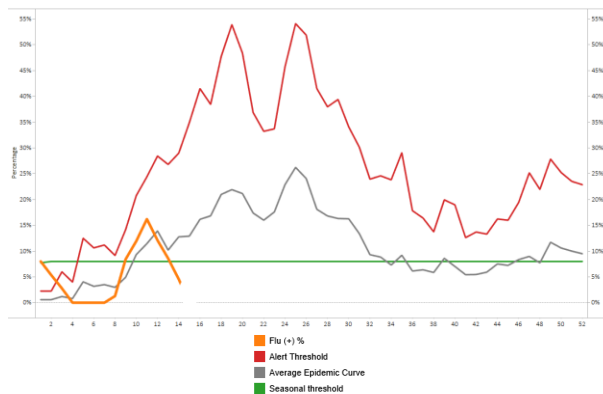
Graph 1. Dominican Republic: Influenza virus distribution by EW, EW 14, 2015-19
Distribución del virus influenza por SE, SE 14, 2015-19



Graph 2. Dominican Republic Influenza and RSV distribution by EW, EW 14, 2015-19
Distribución de los virus influenza y VRS por SE, SE 14, 2015-19



Graph 3. Dominican Republic: Percent positivity for influenza, EW 14, 2019 (in comparison to 2010-2018)
 Porcentaje de positividad de influenza, SE 14, 2019
 (en comparación a 2010-2018)

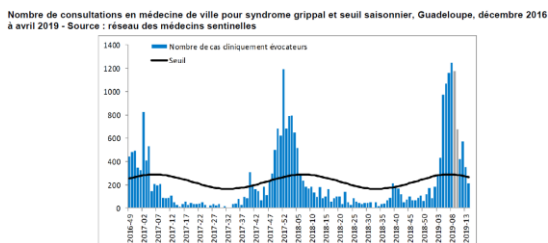


*To view more epi data, view [here](#). / Para ver más datos epi, vea [aquí](#).

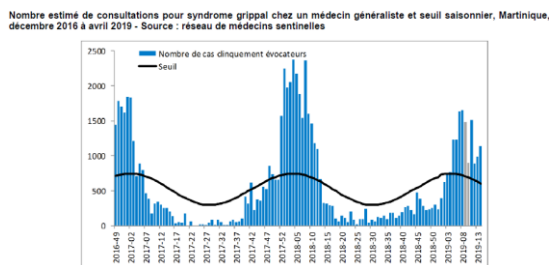
French Territories / Territorios Franceses

- During EW 14, in Guadeloupe, ILI case counts decreased below the seasonal threshold after peaking in EW 9 (Graph 1); in Martinique, ILI activity peaked in EW 8, decreased up to EW 11 and increased again in EW14; ILI activity remains above the seasonal threshold (Graph 2). Overall, in Saint-Barthelemy, during EW 14, the number of ILI consultations decreased after peaking during EW 4 (Graph 3); likewise, in Saint-Martin, ILI activity decreased (Graph 4). / En la SE 14, en Guadalupe, el recuento de casos de ETI disminuyó por debajo del umbral estacional después de alcanzar el máximo en la SE 9 (Gráfico 1); en Martinica, la actividad de ETI alcanzó su punto máximo en la SE 8 y disminuyó hasta la SE 11; volvió a aumentar y durante la SE 14 se mantuvo por encima del umbral estacional (Gráfico 2). En general, en San Bartolomé, durante la SE 14, el número de consultas por ETI disminuyó después de alcanzar su punto máximo durante la SE 4 (Gráfico 3); así mismo, en San Martín, la actividad de ETI disminuyó (Gráfico 4).

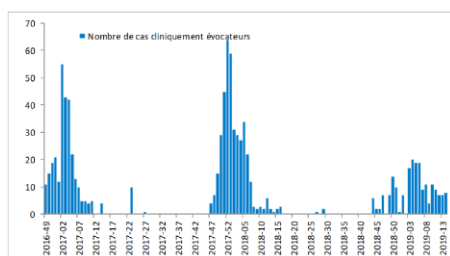
Graph 1. Guadeloupe: Number of ambulatory consultations for ILI, EW 14, 2016-2019
 Número de consultas ambulatorias por ETI, SE 14, 2016-2019



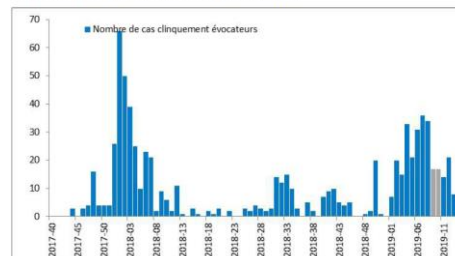
Graph 2. Martinique: Number of ambulatory consultations for ILI, EW 14, 2016-2019
 Número de consultas ambulatorias por ETI, SE 14, 2016-2019



Graph 3. Saint-Barthelemy: Number of ambulatory consultations for ILI, EW 14, 2016-2019
 Número de consultas ambulatorias por ETI, SE 14, 2016-2019



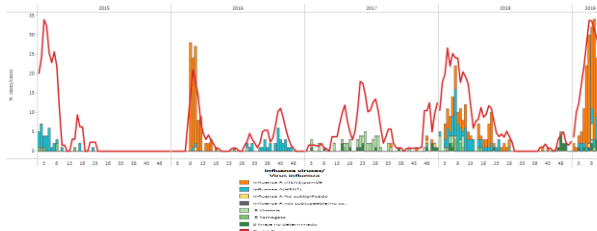
Graph 4. Saint-Martin: Number of ambulatory consultations for ILI, EW 14, 2016-2019
 Número de consultas ambulatorias por ETI, SE 14, 2016-2019



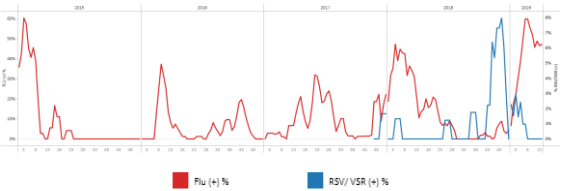
Jamaica

- During EW 14, moderate influenza detection was reported with influenza A and B co-circulating; percent positivity for influenza continued above the alert threshold (Graphs 1,3). No RSV activity was reported during EW 6 to EW 14 (Graph 2). The percentage of SARI cases surpassed the alert threshold and stayed above the levels observed in previous seasons for the same period (Graph 4); likewise, the count of pneumonia cases increased and were above the levels in previous seasons for the same period (Graph 5). Overall, ARI case counts decreased during EW 14 and were below the levels of the previous seasons (2015-18) for the same period (Graph 6) / En la SE 14, se notificó una detección moderada de influenza con influenza A y B circulando simultáneamente; el porcentaje de positividad para la influenza continuó por encima del umbral de alerta (Gráficos 1,3). No se reportó actividad de VRS de la SE 6 a la SE 14 (Gráfica 2). El porcentaje de casos de IRAG superó el umbral de alerta y se mantuvo por encima de los niveles observados en las temporadas anteriores para el mismo período (Gráfico 4); igualmente el recuento de casos de neumonía aumentó y estuvo por encima de los niveles en temporadas anteriores para el mismo período (Gráfico 5). En general, los recuentos de casos de IRA disminuyeron durante la SE 14 y estuvieron por debajo del nivel de las temporadas anteriores (2015-18) para el mismo período (Gráfico 6)

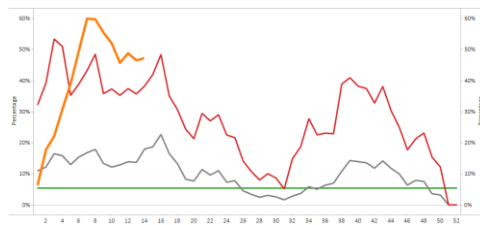
Graph 1. Jamaica: Influenza virus distribution by EW, EW 14, 2015-19
Distribución de virus influenza por SE, SE 14, 2015-19



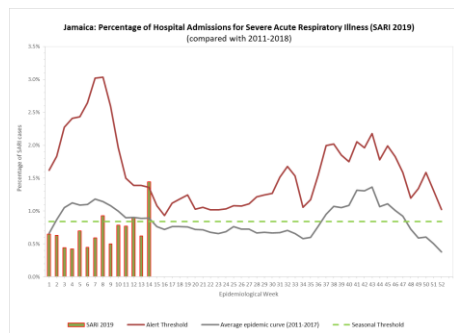
Graph 2. Jamaica: Influenza and RSV virus distribution by EW, EW 14, 2015-19
Distribución de los virus influenza y VRS por SE, SE 14, 2015-19



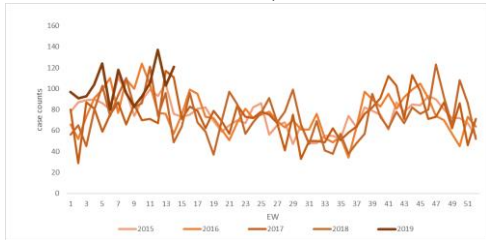
Graph 3. Jamaica: Percent positivity for influenza, EW 14, 2019 (in comparison to 2010-2018)
Porcentaje de positividad de influenza, SE 14, 2019 (en comparación con 2010-2018)



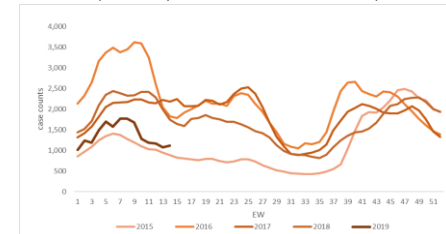
Graph 4. Jamaica: Percentage of SARI hospitalizations per total hospitalizations, EW 14, 2019 (compared to 2011-2018)
Porcentaje de hospitalizaciones por IRAG entre el total de hospitalizaciones, SE 14, 2019 (en comparación con 2011-2018)



Graph 5. Jamaica: Number of pneumonia cases by EW; EW 14, 2015-2019
Cuento de casos de neumonía, por SE; SE 14, 2015-2019



Graph 6. Jamaica: Number of ARI cases, EW 14, 2019 (compared to 2015-2018)
Número de casos de IRA, SE 14, 2019 (en comparación con 2015-2018)

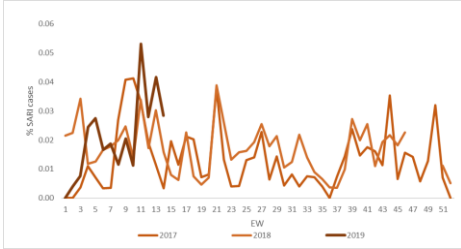


*To view more epi data, view [here](#). / Para ver más datos epi, vea [aquí](#).

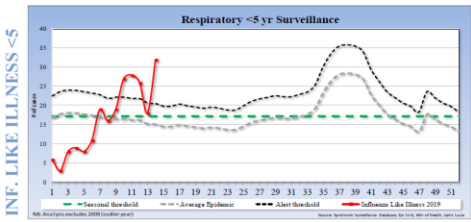
Saint Lucia

- During EW 14, the percentage of SARI cases slightly decreased and stayed above e levels seen in previous seasons for the same period (Graph 1). Overall, ILI activity increased and surpassed the alert threshold (Graphs 2,3). / En la SE 14, el porcentaje de casos de IRAG disminuyó ligeramente y se mantuvo por encima de los niveles de temporadas anteriores para el mismo período (Gráfico 1). En general, la actividad de ETI se incrementó y superó el umbral de alerta (Gráficos 2,3).

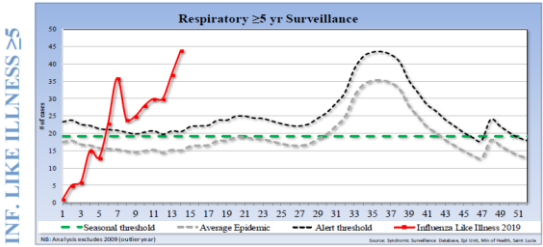
Graph 1. Saint Lucia: Percentage of SARI hospitalizations per total hospitalizations, by EW; EW 14, 2017-2019
 Porcentaje de hospitalizaciones por IRAG entre todas las hospitalizaciones por SE; SE 14, 2017-2019



Graph 2. Saint Lucia: ILI cases distribution by EW among the < 5 years of age, EW 14, 2018-19
 Distribución de ETI por SE entre los <5 años, SE 14, 2018-19



Graph 3. Saint Lucia: ILI cases distribution by EW among the ≥ 5 years of age, EW 14, 2018-19
 Distribución de ETI por SE entre los ≥ 5 años de edad, SE 14, 2018-19

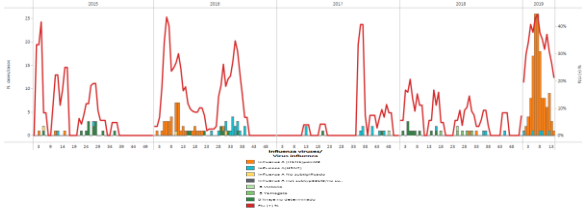


*To view more epi data, view [here](#). / Para ver más datos epi, vea [aquí](#).

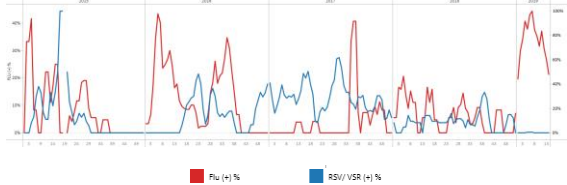
Suriname

- During EW 14, influenza activity decreased below the alert threshold with influenza A(H1N1)pdm09 predominance (Graphs 1,2,3); no RSV circulation was reported (Graph 2). ILI case counts decreased and remained below the levels of previous seasons for the same period (2015-18); the percentage of SARI cases decreased and remained higher than levels observed in most of the previous seasons for the same period (Graphs 4,5). / En la SE 14, la actividad de la influenza disminuyó por debajo del umbral de alerta, con predominio de influenza A (H1N1) pdm09 (Gráficos 1,2,3); No se reportó circulación de RSV (Gráfico 2). Los recuentos de casos de ETI disminuyeron y se mantuvieron por debajo de los niveles de temporadas anteriores para el mismo período (2015-18); el porcentaje de casos de IRAG disminuyó y se mantuvo más alto que los niveles observados en la mayoría de las temporadas anteriores para el mismo período (Gráficos 4,5)

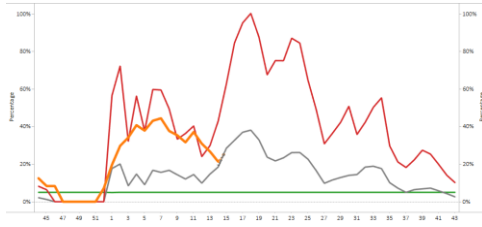
Graph 1. Suriname: Influenza virus distribution by EW 14, 2015-19
 Distribución de virus influenza por SE 14, 2015-19



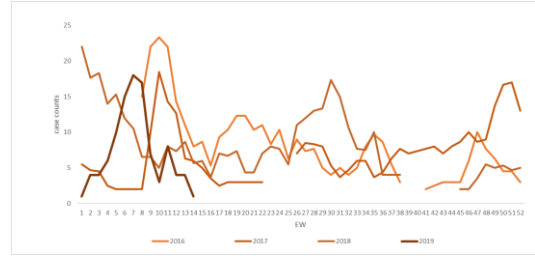
Graph 2. Suriname: Influenza and RSV distribution, EW 14, 2015-19
 Distribución de los virus influenza y VRS, SE 14, 2015 -19



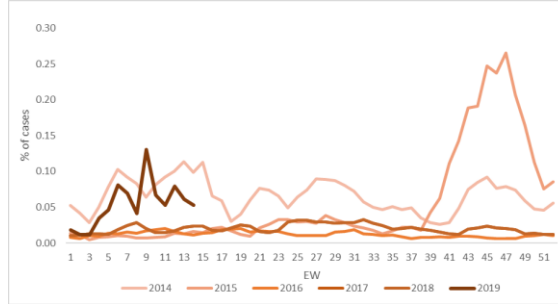
Graph 3. Suriname: Percent positivity for influenza, EW 14, 2019
(in comparision to 2010-2018)
Porcentaje de positividad de influenza, SE 14, 2019
(en comparación con 2010-2018)



Graph 4. Suriname: Number of ILI cases, by age and EW, EW 14, 2016-2019
Número de casos de ETI, por grupo de edad, por SE, SE 14, 2016-2019



Graph 5. Suriname: Percentage of SARI hospitalizations per total hospitalizations, by EW; EW 14, 2014-2019
Porcentaje de hospitalizaciones por IRAG entre todas las hospitalizaciones por SE; SE 14, 2014-2019

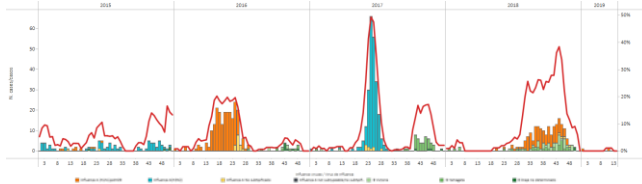


*To view more epi data, view [here](#). / Para ver más datos epi, vea [aquí](#).

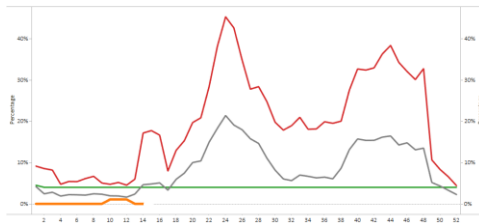
El Salvador

- During EW 14, 2019 no influenza detections were reported, and the percentage of influenza positivity was below the seasonal threshold (Graphs 1,2,3). During EW 44, 2018 to EW 14, 2019, RSV detections increased steadily (Graph 2); Parainfluenza virus and adenovirus co-circulated. In EW 13, the percentage of SARI cases and pneumonia case counts steadily decreased as compared to previous weeks and were above the levels observed in seasons 2016-18 (Graphs 4,5). / En la SE 14, 2019, no se reportaron detecciones de influenza y el porcentaje de positividad de influenza estuvo por debajo del umbral estacional (Gráficos 1,2,3). De la SE 44, 2018 a la SE 14, 2019, las detecciones de VRS aumentaron constantemente (Gráfico 2); los virus parainfluenza y adenovirus circularon simultáneamente. En la semana 13, el porcentaje de casos de IRAG y el número de casos de neumonía disminuyó de manera constante en comparación con las semanas anteriores y estuvo por encima de los niveles observados en las temporadas 2016-18 (Gráficos 4,5)

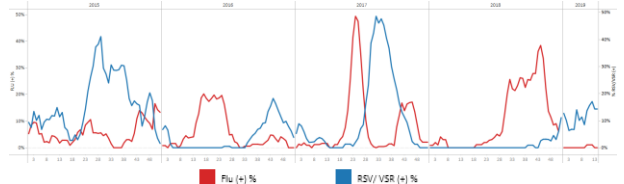
Graph 1. El Salvador: Influenza virus distribution, EW 14 2015-19
Distribución de virus influenza, SE 14, 2015-19



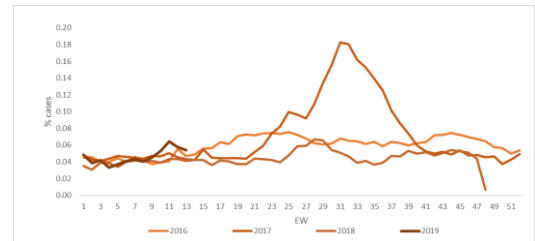
Graph 3. El Salvador: Percent positivity for influenza, EW 14, 2019 (in comparison to 2010-2018)
Porcentaje de positividad de influenza, SE 14, 2019 (en comparación con 2010-2018)



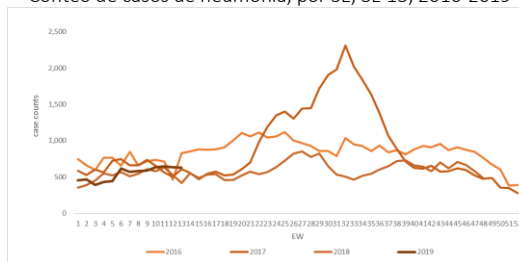
Graph 2. El Salvador: Influenza and RSV distribution, EW 14, 2015-19
Distribución de los virus influenza y VRS, SE 14, 2015-19



Graph 4. El Salvador: Percentage of SARI cases out of total hospitalizations, by EW, 2019. EW 13 (in comparison to 2016-2018)
Porcentaje de casos de IRAG de todas las hospitalizaciones por SE; SE 13, 2019 (en comparación con 2016-2018)



Graph 5. El Salvador: Number of pneumonia cases by EW; EW 13, 2016-2019
Cuento de casos de neumonía, por SE; SE 13, 2016-2019



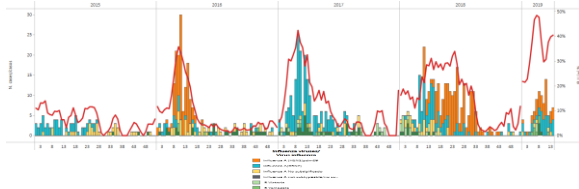
*To view more epi data, view [here](#). / Para ver más datos epi, vea [aquí](#).

Guatemala

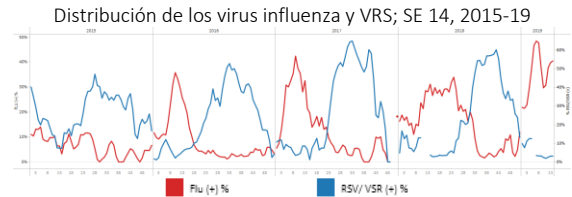
- During EW 14, influenza activity continued increasing with influenza A(H1N1)pdm09 predominance and influenza B Victoria Δ162/163 lineage co-circulating (Graph 1); RSV activity remained low compared to previous weeks, although parainfluenza, adenovirus and metapneumovirus co-circulated (Graph 2); percentage for influenza positivity decreased (Graph 3); the percentage of SARI cases among all hospitalizations remained below the level of 2010-18 seasons (Graph 4). Overall, during EW 13, pneumonia and ARI activity slightly decreased compared to the previous week and remained low. / En la SE 14, la actividad de influenza continuó aumentando con el predominio de influenza A(H1N1)pdm09 e influenza B linaje Victoria Δ162/163 circularon simultáneamente (Gráfico 1); la actividad del VRS se mantuvo baja en

comparación con las semanas anteriores, aunque los virus parainfluenza, adenovirus y metapneumovirus circularon conjuntamente (gráfico 2); el porcentaje de positividad para la influenza disminuyó (Gráfico 3); el porcentaje de casos de IRAG entre todas las hospitalizaciones se mantuvo por debajo del nivel de las temporadas 2010-18 (Gráfico 4). En general, durante la SE 13, la neumonía y la actividad de IRA disminuyeron ligeramente en comparación con la semana anterior y se mantuvieron por debajo de los niveles reportados en las temporadas 2017-18 (Gráficos 5,6)

Graph 1. Guatemala: Influenza virus distribution EW 14, 2015-19
Distribución de influenza SE 14, 2015-19

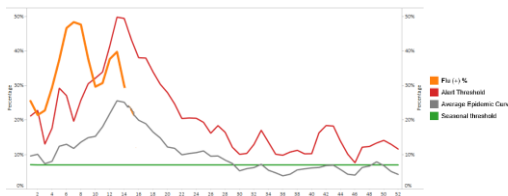


Graph 2. Guatemala: Influenza and RSV distribution, EW 14, 2015-19
Distribución de los virus influenza y VRS; SE 14, 2015-19



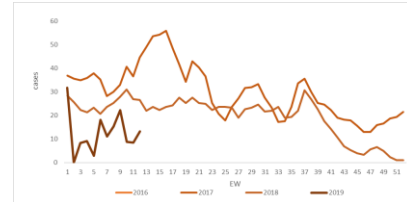
Graph 3. Guatemala: Percentage positivity for influenza; EW 14, 2019
(in comparison to 2010-2018)

Porcentaje de positividad de influenza, SE 14, 2019
(en comparación con 2010-2018)

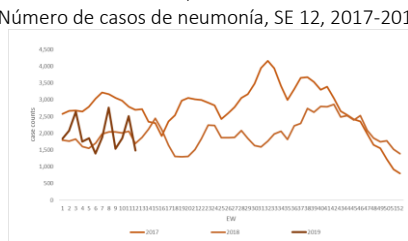


Graph 4. Guatemala: % SARI hospitalizations per total hospitalizations, by EW, 2017-2019. EW 12.

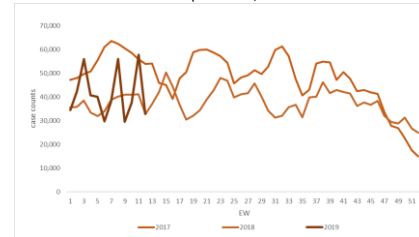
Porcentaje de hospitalizaciones por IRAG entre todas las hospitalizaciones, por SE, 2017-2019. SE 12.



Graph 5. Guatemala: Number of pneumonia cases, EW 12, 2017-2019
Número de casos de neumonía, SE 12, 2017-2019



Graph 6. Guatemala: Number of ARI cases, EW 12, 2017-2019
Número de casos por IRA, SE 12 2017-2019

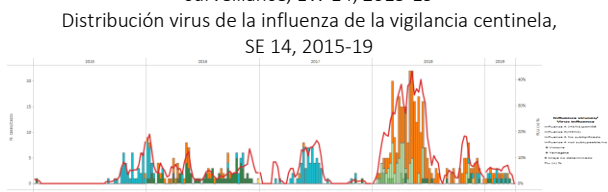


*To view more epi data, view [here](#). / Para ver más datos epi, vea [aquí](#).

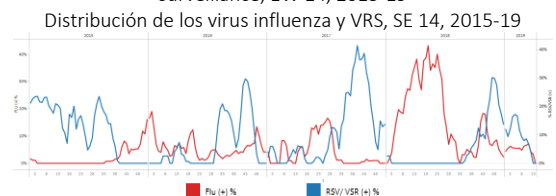
Honduras

- During EW 13 to EW 14, no detections of influenza and RSV were reported by sentinel sites (Graphs 1,2,3). Graph 2 shows a steady decrease in RSV activity after a first peak in EW 48 and a smaller second peak in EW 5 and 6, 2019. During EW 13, the counts of SARI cases (2) decreased as compared to the previous weeks and remained lower than the levels of the 2012-18 seasons; all SARI cases were in children younger than 5 years (Graph 4). / De la SE 13 a la SE 14, los sitios centinela no reportan detecciones de influenza y VRS (Gráficos 1,2,3). El gráfico 2 muestra una disminución constante en la actividad del VRS después de un primer pico en la SE 48 y un segundo pico más pequeño en la SE 5 y 6, 2019. Durante la SE 13, los recuentos de casos de IRAG (2) disminuyeron en comparación con las semanas anteriores y se mantuvieron más bajos que los niveles de las temporadas 2012-18; todos los casos de IRAG fueron en niños menores de 5 años (gráfico 4).

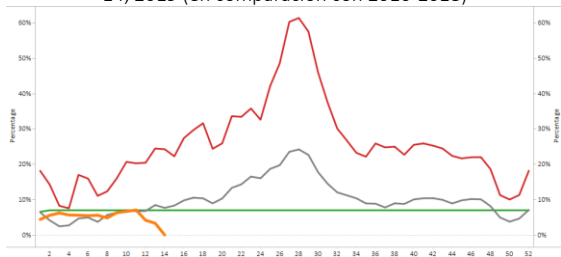
Graph 1. Honduras: Influenza virus distribution from sentinel surveillance, EW 14, 2015-19
Distribución virus de la influenza de la vigilancia centinela, SE 14, 2015-19



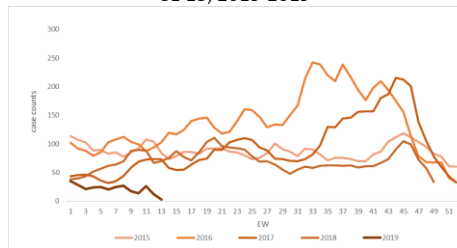
Graph 2. Honduras: Influenza and RSV distribution form sentinel surveillance, EW 14, 2015-19
Distribución de los virus influenza y VRS, SE 14, 2015-19



Graph 3. Honduras : Percent positivity for influenza, from sentinel surveillance; EW 14, 2019 (in comparison to 2010-2018)
Porcentaje de positividad de influenza, de la vigilancia centinela; SE 14, 2019 (en comparación con 2010-2018)



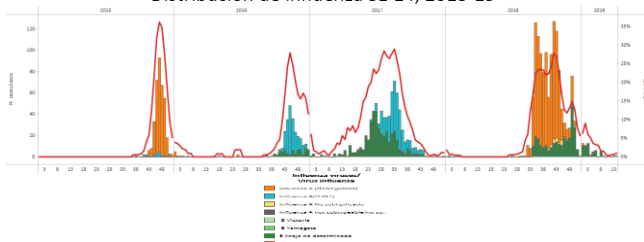
Graph 4. Honduras: Number of SARI cases out of total hospitalizations, EW 13, 2015-2019
Número de casos de IRAG de todas hospitalizaciones; SE 13, 2015-2019



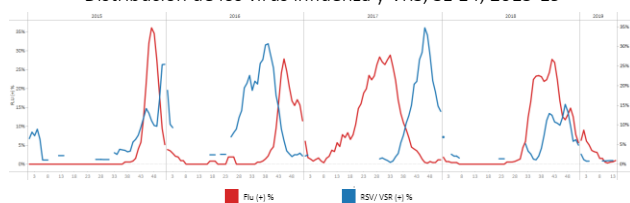
Nicaragua

- During EW 14, 2019, influenza and RSV activity remained at the interseasonal level (Graphs 1,2,3). Pneumonia case counts slightly decreased in EW 10, and remained below the levels observed in the previous seasons (2013-18) (Graph 4). The SARI case counts from sentinel surveillance increased in EW 10 compared to the previous week and remained above previous seasons' levels (Graph 5). / En la SE 14 de 2019, la actividad de influenza y VRS permanece en niveles interestacionales (Gráficos 1,2,3). Los casos de neumonía disminuyeron ligeramente en la SE 10, pero se mantuvieron por debajo de los niveles observados en las temporadas anteriores (2013-18) (Gráfico 4). Los recuentos de casos de IRAG a partir de la vigilancia centinela aumentaron en la SE 10 en comparación con la semana previa y se mantuvieron por encima de los niveles de temporadas anteriores (Gráfico 5).

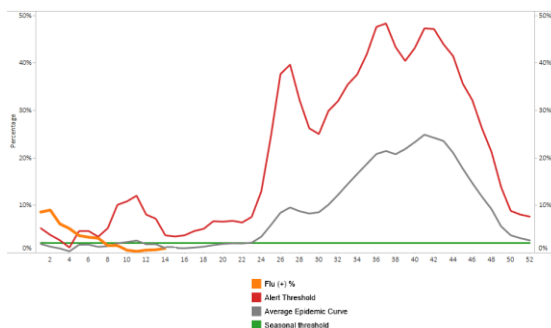
Graph 1. Nicaragua. Influenza virus distribution EW 14, 2015-19
Distribución de influenza SE 14, 2015-19



Graph 2. Nicaragua: Influenza and RSV distribution, EW 14, 2015-19
Distribución de los virus influenza y VRS, SE 14, 2015-19



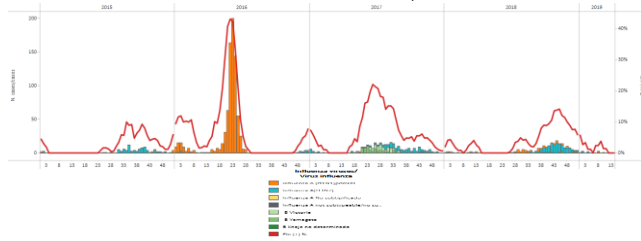
Graph 3. Nicaragua : Percent positivity for influenza, from sentinel surveillance; EW 14, 2019 (in comparison to 2010-2018)
Porcentaje de positividad de influenza de la vigilancia centinela; SE 14, 2019 (en comparación con 2010-2018)



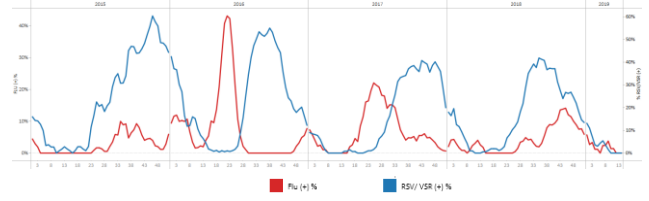
Panama

- During EW 13 and 14, 2019, at the national level, no influenza or RSV detections were reported (Graphs 1,2,3). / De la SE 13 a la 14 de 2019, a nivel nacional, no se reportó actividad de influenza ni de VRS (Gráficos 1,2,3).

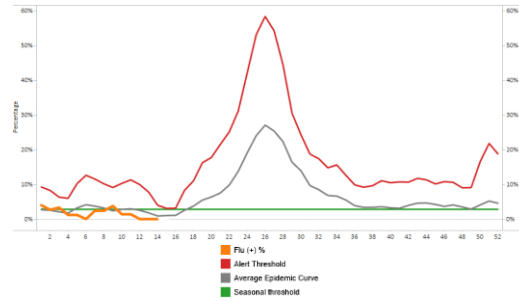
Graph 1. Panama: Influenza virus distribution EW 14, 2015-2019
Distribución de influenza EW 14, 2015-2019



Graph 2. Panama: Influenza and RSV distribution, EW 14, 2015-2019
Distribución de virus influenza y VRS, EW 14, 2015-2019



Graph 3. Panama: Percent positivity for influenza, from sentinel surveillance, EW 14, 2019 (in comparison to 2010-2018)
Porcentaje de positividad de influenza, de la vigilancia centinela, SE 14, 2019 (en comparación con 2010-2018)



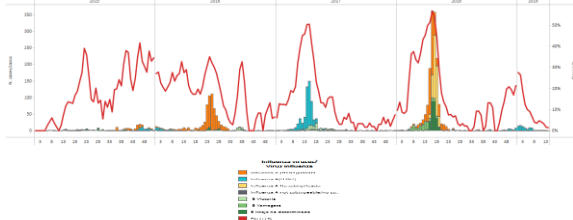
*To view more epi data, view [here](#). / Para ver más datos epi, vea [aquí](#).

South America / América del Sur – Andean countries / Países andinos

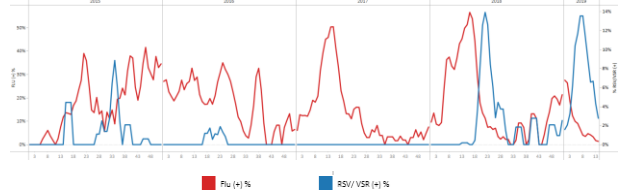
Bolivia

- During EW 14, 2019 no detections of influenza or RSV viruses were reported (Graphs 1,2,3). The percentage of SARI cases increased slightly and remained above the levels observed in 2017-2018 seasons for the same period (Graph 4). En la SE 14 de 2019 no se reportaron detecciones de los virus de la influenza y VRS (Gráficos 1,2,3). El porcentaje de casos de IRAG aumentó ligeramente y se mantuvo por encima de los niveles observados en las temporadas 2017-2018 para el mismo período (Gráfico 4)

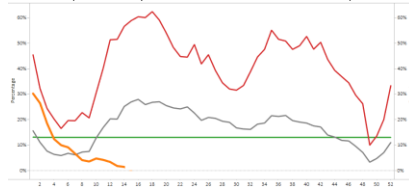
Graph 1. Bolivia. Influenza virus distribution EW 14, 2015-19
Distribución de influenza SE 14, 2015-19



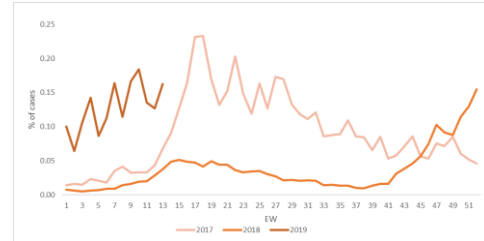
Graph 2. Bolivia: Influenza and RSV distribution, EW 14, 2015-19
Distribución de los virus influenza y VRS, SE 14, 2015-19



Graph 3. Bolivia: Percent positivity for influenza, EW 14, 2018-19
(in comparison to 2010-2018)
Porcentaje de positividad de influenza, SE 14, 2018-19
(en comparación con 2010-2018)



Graph 4. Bolivia: Percentage of SARI cases out of total hospitalizations,
EW 13, 2019
Porcentaje de casos IRAG del total de hospitalizaciones,
SE 13, 2019

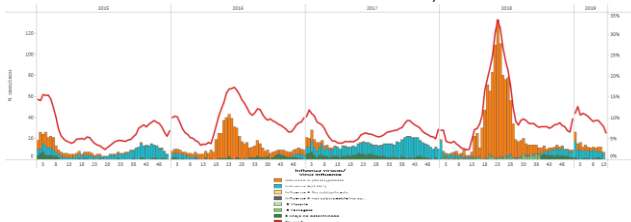


*To view more epi data, view [here](#). / Para ver más datos epi, vea [aquí](#).

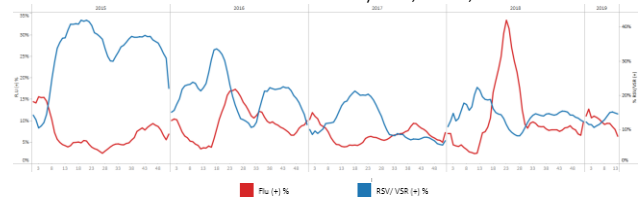
Colombia

- During EW 13, influenza activity decreased and was at the seasonal threshold, with influenza A(H3N2) and A(H1N1)pdm09 co-circulating (Graphs 1,3); RSV activity slightly decreased compared with previous weeks (Graph 2). At the national level, SARI case counts decreased as compared to the previous seasons for the same period (Graph 4). Pneumonia activity slightly increased in recent weeks and was below most of the seasonal levels for the period; ARI activity increased as compared to previous week (Graphs 5,6). / Durante la SE 13, la actividad de influenza disminuyó y estuvo en el umbral estacional, con influenza A (H3N2) y A (H1N1) pdm09 circulando simultáneamente (Gráficos 1,3); el VRS disminuyó ligeramente en comparación con las semanas anteriores (Gráfico 2). A nivel nacional, los recuentos de casos de IRAG disminuyeron en comparación con las temporadas anteriores para el mismo período (Gráfico 4). La actividad de la neumonía aumentó ligeramente en las últimas semanas y estuvo por debajo de la mayoría de los niveles estacionales del período; la actividad de IRA aumentó en comparación con la semana anterior (Gráficos 5,6).

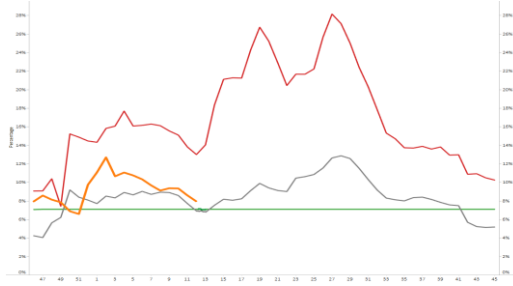
Graph 1. Colombia. Influenza virus distribution EW 12, 2015-19
Distribución de virus influenza SE 12, 2015-19



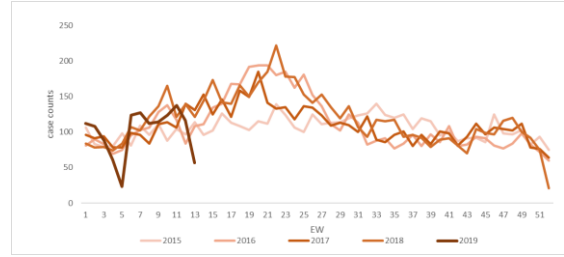
Graph 2. Colombia: Influenza and RSV distribution, EW 12, 2015-19
Distribución de virus influenza y VRS, SE 12, 2015-19



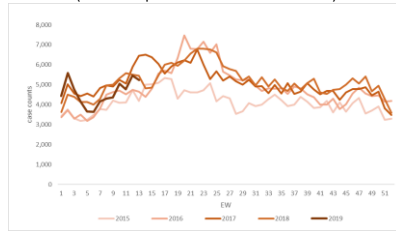
Graph 3. Colombia: Percent positivity for influenza, EW 12, 2018-19
(in comparison to 2010-2018)
Porcentaje de positividad de influenza, EW 12, 2018-19 (in comparison to 2010-2018)



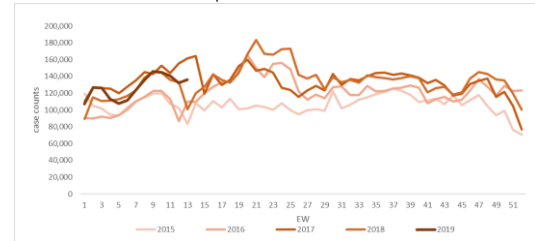
Graph 4. Colombia: Number of SARI cases, EW 13, 2019
(in comparison to 2015-2018)
Número de casos de IRAG, SE 13, 2019 (en comparación a 2015-2018)



Graph 5. Colombia: Number of pneumonia-related hospitalizations, by EW 13, 2019 (in comparison with 2015-18)
Número de hospitalizaciones asociadas a neumonía, por SE 13, 2019 (en comparación con 2015-18)



Graph 6. Colombia: Number of ARI cases, EW 13, 2019
(from all consultations), in comparison with 2015-18
Número de casos de IRA, SE 13, 2019 (de todas consultas), en comparación con 2015-18

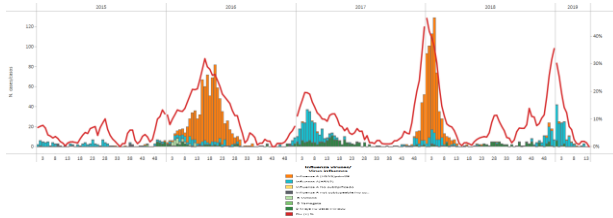


*To view more epi data, view [here](#). / Para ver más datos epi, vea [aquí](#).

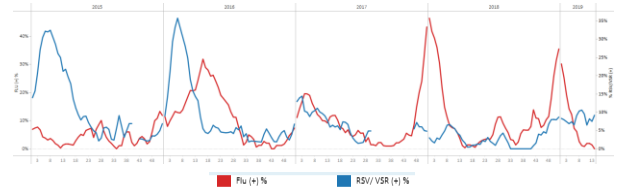
Ecuador

- Overall, during EW 13 to 14, no influenza detections were reported (Graphs 1,3). RSV activity slightly increased in comparison to EW 13 (Graph 2). En general, de la SE 13 a la 14, no se reportaron detecciones de influenza (Gráficos 1,3). La actividad de VRS aumentó ligeramente en comparación con la SE 13 (Gráfico 2).

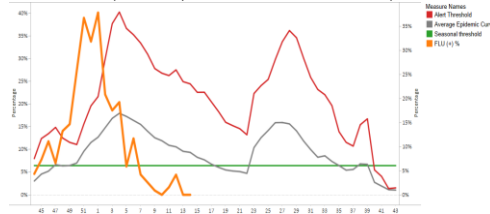
Graph 1. Ecuador: Influenza virus distribution from SARI sentinel cases by EW 14, 2015-19
Distribución de virus influenza de casos de IRAG centinela SE 14, 2015-19



Graph 2. Ecuador: Influenza and RSV distribution from SARI sentinel cases, EW 14, 2015-19
Distribución de los virus influenza y VRS de casos de IRAG centinela, SE 14, 2015-19



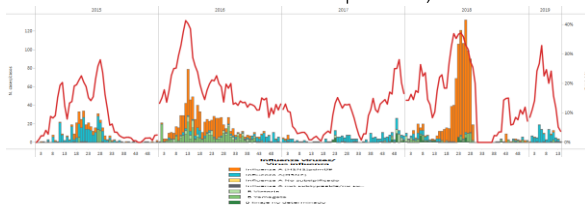
Graph 3. Ecuador: Percent positivity for influenza, EW 14, 2019
(in comparison to 201-2018)
Porcentaje de positividad de influenza, SE 14, 2019
(en comparación con 2010-2018)



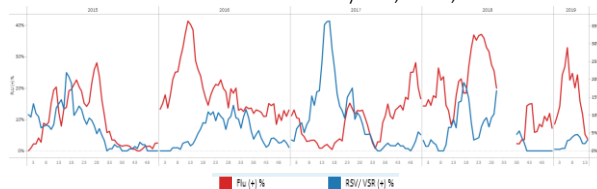
*To view more epi data, view [here](#). / Para ver más datos epi, vea [aquí](#).

- During EW 14, influenza activity was low in comparison with previous weeks, with detection of influenza B (Graph 1). RSV detections remained low this EW and co-circulated with rhinovirus and parainfluenza (Graph 2). Percent positivity for influenza decreased compared to previous weeks (Graph 3). At the national level, SARI case counts among all hospitalizations slightly decreased and returned to levels seen during EWs 8-9 (Graph 4). At the national level, pneumonia cases have decreased since EW 12 (Graph 5). ILI case counts decreased compared with previous weeks (Graph 6). / En la SE 14, la actividad de influenza fue baja en comparación con las semanas anteriores con la detección de influenza B (Gráfico 1). Las detecciones de VRS se mantuvieron bajas en esta SE y circuló junto con rinovirus y parainfluenza (gráfico 2). El porcentaje de positividad para la influenza disminuyó en comparación con las semanas anteriores (Gráfico 3). A nivel nacional, el número de casos de IRAG entre todas las hospitalizaciones disminuyó ligeramente y volvió a los niveles de las SE 8-9 (Gráfico 4). A nivel nacional, los casos de neumonía disminuyeron desde la SE 12 (gráfico 5). Los recuentos de casos de ETI disminuyeron en comparación con las semanas anteriores (Gráfico 6).

Graph 1. Peru: Influenza virus distribution by EW 14, 2015-19
Distribución de virus influenza por SE 14, 2015-19

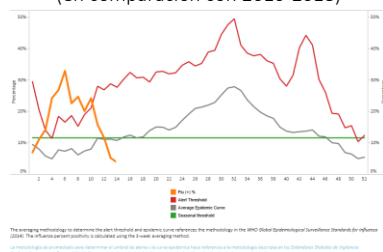


Graph 2. Peru: Influenza and RSV distribution, EW 14, 2015-19
Distribución de virus influenza y VRS, SE 14, 2015-19

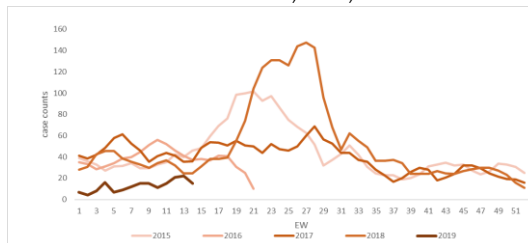


Graph 3. Peru: Percent positivity for influenza, EW 14, 2019
(in comparison to 2010-2018)

Porcentaje de positividad de influenza, EW 14, 2019
(en comparación con 2010-2018)

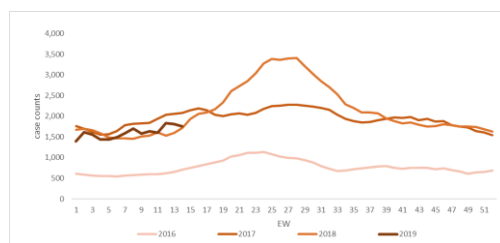


Graph 4. Peru: Number of SARI cases, by EW 14, 2015-2019
Número de casos IRAG, SE 14, 2015-2019



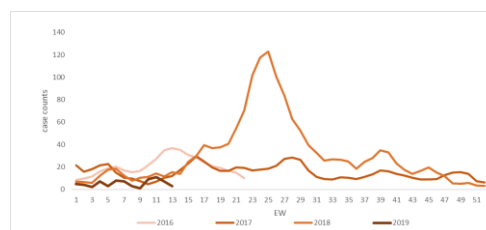
Graph 5. Peru: Pneumonia cases in children under 5 years,
EW 14, 2016-2019

Casos de neumonía en niños menores de 5 años,
SE 14, 2016-2018



Graph 6. Peru: Number of ILI cases, EW 14, 2019,
in comparison to 2016-18

Número de casos ETI, SE 14, 2019, en comparación con 2016-18

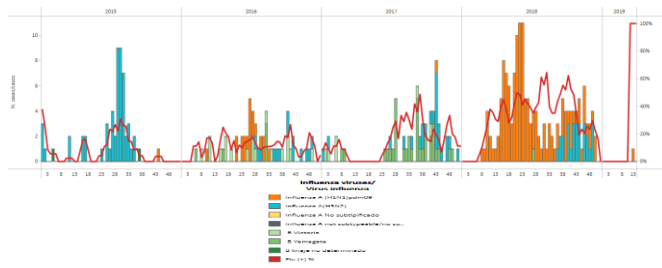


*To view more epi data, view [here](#). / Para ver más datos epi, vea [aquí](#).

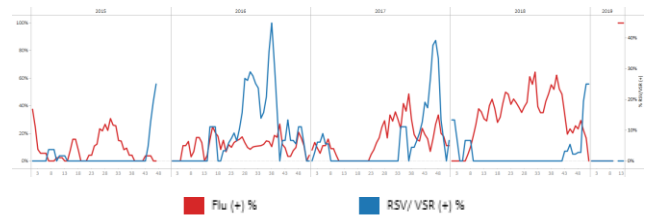
- During EW 13, minimal detection of influenza was reported with influenza A(H1N1)pdm09 predominance (Graphs 1). From EW 42 to EW 52, RSV activity peaked and was higher than the levels reported in 2015-2017 for the same period,

no detections were reported in 2019 (Graph 2). / En la SE 13, se reportaron mínimas detecciones de influenza con predominio de influenza A(H1N1)pdm09 (Gráficos 1). Desde la SE 42 hasta la SE 52, la actividad de VRS llegó a su pico máximo y fue superior a los niveles reportados en 2015-2017 para el mismo periodo, sin detecciones en lo que va de 2019 (Gráfico 2).

Graph 1. Venezuela: Influenza virus distribution by EW 13, 2015-19
Distribución de virus influenza por SE 13, 2015-19



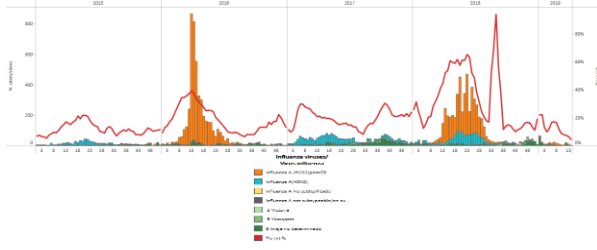
Graph 2. Venezuela: Influenza and RSV distribution, EW 13, 2015-19
Distribución de virus influenza y VSR, SE 13, 2015-19



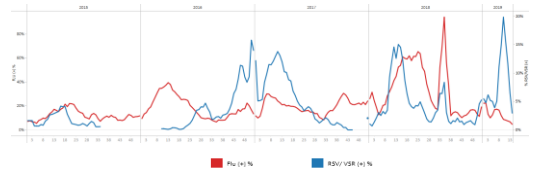
Brazil

- During EW 14, 2019, low influenza activity continued (Graphs 1,2). RSV detections decreased compared to previous weeks (Graph 2). During EW 13, ILI activity at the sentinel sites remained low as compared to the 2015-2018 seasons (Graph 3). / En la SE 14 de 2019, continuó baja la actividad de influenza (Gráficos 1,2). Las detecciones de VRS disminuyeron en comparación con semanas anteriores (Gráfica 2). Durante la SE 13, la actividad de ETI en los sitios centinela permaneció baja en comparación con las temporadas 2015-2018 (Gráfico 3).

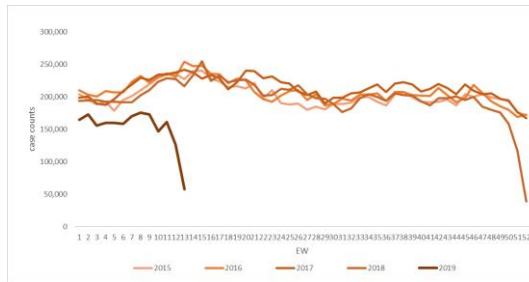
Graph 1. Brazil- All NICs. Influenza virus distribution by EW 14, 2015-2019
Distribución de virus influenza por SE 14, 2015-2019



Graph 2. Brazil – All NICs: Influenza and RSV distribution, EW 14, 2015-2019
Distribución de los virus influenza y VRS, SE 14, 2015-2019



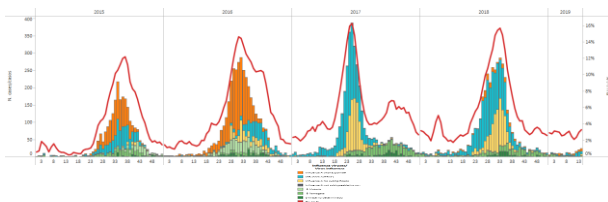
Graph 3. Brazil – Number of ILI cases, EW 13, 2019 in comparison to 2015-18
Número de casos de ETI, SE 13, 2019, en comparación con 2015-18



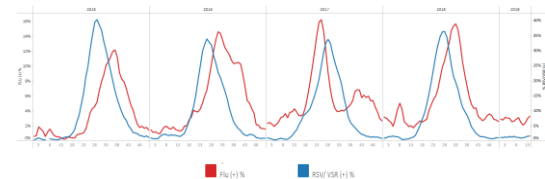
Chile

- During EW 14, influenza activity slightly increased compared to previous weeks and the percentage of influenza positivity reached the seasonal threshold (Graphs 1,3). RSV percent positivity remained very low, comparable to levels reported in 2015-18 seasons for the same period (Graph 2). Overall, at the national level, SARI case counts remained stable during EW 14 and below the level of previous seasons (2015-18) (Graph 4). ILI case counts decreased compared to previous week and remained below the level of previous seasons for the same period (Graph 5). / En la SE 14, la actividad de influenza aumentó ligeramente en comparación con las semanas anteriores y el porcentaje de positividad de influenza alcanzó el umbral estacional (Gráficos 1,3). El porcentaje de positividad del VRS se mantuvo muy bajo, comparable a los niveles reportados en las temporadas 2015-18 para el mismo período (Gráfico 2). En general, a nivel nacional, los recuentos de casos de IRAG se mantuvieron estables durante la SE 14 y por debajo del nivel de temporadas anteriores (2015-18) (Gráfico 4). El conteo de casos de ETI disminuyó en comparación con la semana anterior y se mantuvo por debajo del nivel de las temporadas anteriores para el mismo período (Gráfico 5).

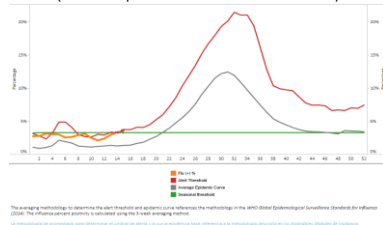
Graph 1. Chile: Influenza virus distribution by EW 14, 2015-19
Distribución de virus de influenza por SE 14, 2015-19



Graph 2. Chile: Influenza and RSV distribution, EW 14, 2015-19
Distribución de los virus influenza y VRS, SE 14, 2015-19



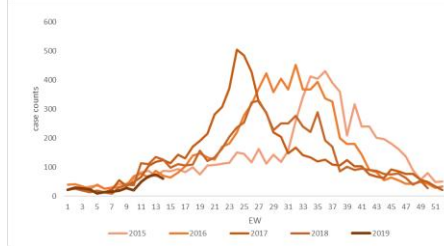
Graph 3. Chile: Baseline for the percent positivity for influenza, EW 14, 2019 (in comparison to 2010-2018)
 Línea basal para el porcentaje de positividad de influenza, SE 14, 2019 (en comparación con 2010-2018)



Graph 4. Chile: Number of SARI cases from all hospitalizations, EW 14, 2015-2019
 Número de casos por IRAG de las hospitalizaciones totales, SE 14, 2015-2019



Graph 5. Chile. Number of ILI cases, EW 14, 2019, in comparison 2013-18
 Número de casos ETI, SE 14, 2019, en comparación con 2013-18

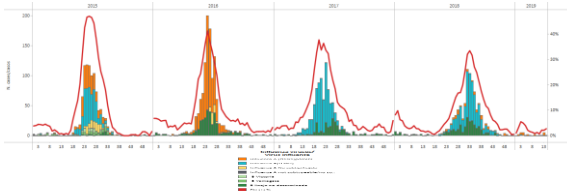


*To view more epi data, view [here](#). / Para ver más datos epi, vea [aquí](#).

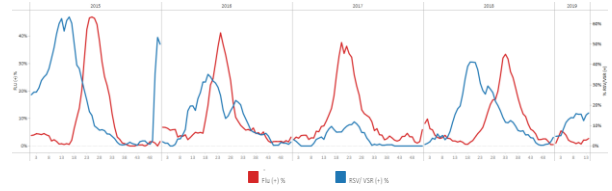
Paraguay

- Overall, during EW 14, 2019, reported influenza activity was low as compared to previous weeks (Graphs 1,3); RSV positivity remained at the same level compared with previous weeks (Graph 2). The number of SARI cases increased compared to previous weeks and remained below the seasonal threshold (Graph 4); likewise, ILI cases were below seasonal threshold (Graph 5). / En general, durante la SE 13, 2019, la actividad de influenza reportada fue muy baja en comparación con las semanas anteriores (Gráficos 1,3); la positividad del VRS disminuyó ligeramente desde la SE 11, 2019 (Gráfico 2). En la SE 13, el número acumulado de casos de IRAG se mantuvo dentro del umbral estacional (Gráfico 4); del mismo modo, el porcentaje de casos de ETI estuvo por debajo del umbral estacional en comparación con las temporadas anteriores (2016-2018) (Gráfico 5).

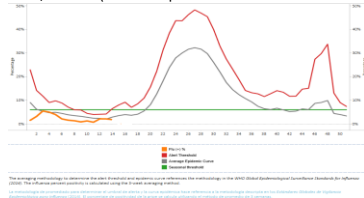
Graph 1. Paraguay: Influenza virus distribution EW 14, 2015-19
 Distribución de virus de influenza, SE 14, 2015-19



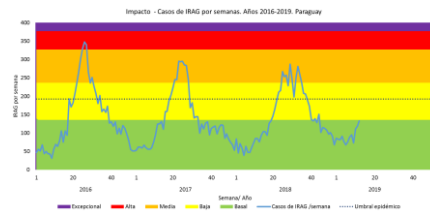
Graph 2. Paraguay: Influenza and RSV distribution, EW 14, 2015-19
 Distribución de los virus influenza y VRS, SE 14, 2015-19



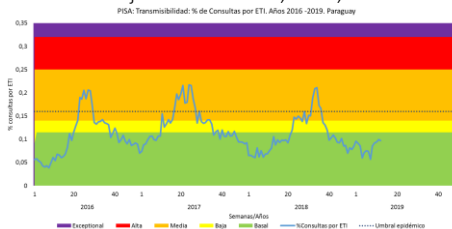
Graph 3. Paraguay: SARI sentinel sites: Baseline for the percent positivity for influenza, EW 14, 2019 (in comparison to 2010-2018)
 Línea basal para el porcentaje de positividad de influenza, SE 14, 2019 (en comparación con 2010-2018)



Graph 4. Paraguay: Number of SARI cases per EW, EW 14, 2019 (as compared to 2016-2018)
 Número de casos de IRAG por SE, SE 14, 2019 (en comparación con 2016-2018)



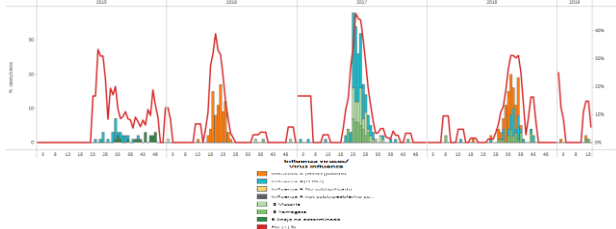
Graph 5. Paraguay: Percentage of ILI cases, EW 14, 2016-19
 Porcentaje de casos de ETI, SE 14, 2016-19



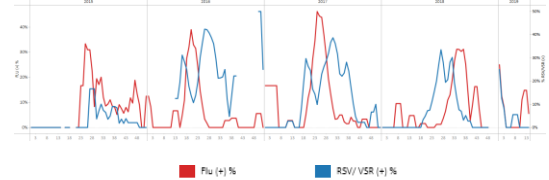
Uruguay

- During EW 14 low influenza activity was reported and the percentage of positivity for influenza decreased to a level within the alert threshold (Graphs 1,2,3). RSV detections were not reported among SARI cases since EW 9 (Graph 2). The percentage of SARI cases remained below the level of season 2017 for the same period (Graph 3). / En la SE 14 se reportó una baja actividad de influenza y el porcentaje de positividad para influenza disminuyó y se ubicó en el umbral de alerta (Gráficos 1,2,3). No se reportaron detecciones de VRS entre los casos de IRAG desde la SE 9 (Gráfico 2). El porcentaje de casos de IRAG permaneció por debajo del nivel de la temporada 2017 para el mismo período (Gráfico 3).

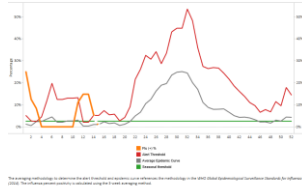
Graph 1. Uruguay: Influenza virus distribution by EW 14, 2015-19
Distribución de virus de influenza, por SE 14, 2015-19



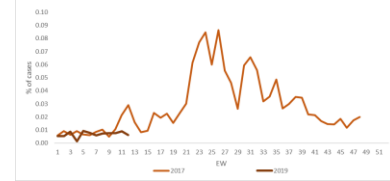
Graph 2. Uruguay: Influenza and RSV distribution, EW 14, 2015-19
Distribución de los virus influenza y VRS, SE 14, 2015-19



Graph 3. Uruguay: Percent positivity for influenza, EW 14, 2019
(in comparison to 2010-2018)
Porcentaje de positividad de influenza, SE 14, 2019
(en comparación con 2010-2018)



Graph 4. Uruguay: Percentage of SARI cases per total hospitalizations, EW 12, 2019
(as compared to 2017)
Porcentaje de casos de IRAG por el total de hospitalizaciones,
SE 12, 2019 (en comparación con 2017)



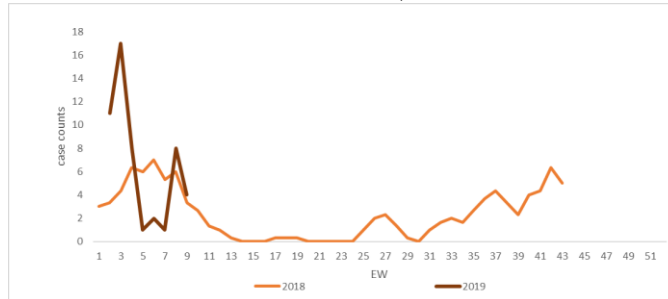
*To view more epi data, view [here](#). / Para ver más datos epi, vea [aquí](#).

More countries information / Más información de países

Aruba

- During EW 9, 2019, overall, SARI activity decreased and reached levels similar to the 2018 season for the same period (Graph 1). / En la SE 9 de 2019, en general la actividad de IRAG disminuyó y alcanzó niveles similares a los de la temporada 2018 para el mismo periodo (Gráfico 1).

Graph 1. Aruba: Number of SARI cases with samples by EW, EW 9, 2018-2019, Número de casos IRAG con muestra por SE, SE 9, 2018-2019

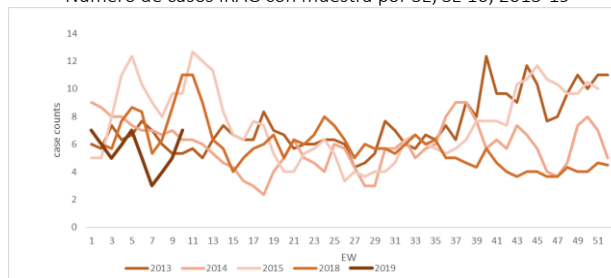


More countries information/ Más información de países

Barbados

- During EW 10, SARI activity increased although it was below the levels observed in the 2015 and 2018 seasons for the same period (Graph 1). / En la SE 10, la actividad de IRAG aumentó, aunque estuvo por debajo de los niveles observados en las temporadas 2015 y 2018 para el mismo período (Gráfico 1).

Graph 1. Barbados: Number of SARI cases with samples by EW, EW 10, 2013-19, Número de casos IRAG con muestra por SE, SE 10, 2013-19

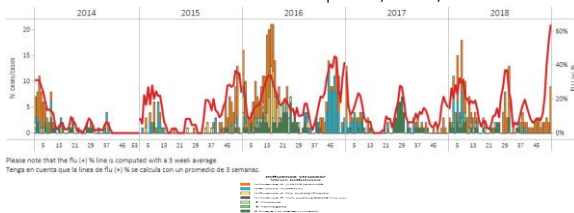


*To view more epi data, view [here](#). / Para ver más datos epi, vea [aquí](#).

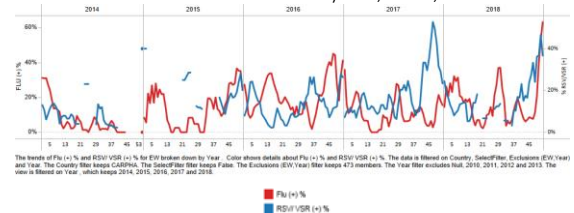
CARPHA

- During EW 52, increased influenza detections were reported with influenza A(H1N1)pdm09 circulating (Graph 1). The proportion of influenza positive samples and the proportion of RSV positive samples increased from previous weeks (Graph 2/ Durante la SE 52, se reportaron mayores detecciones de influenza con circulación de influenza A(H1N1)pdm09 (Gráfico 1). La proporción de muestras positivas para influenza y la proporción de muestras positivas para VSR aumentaron en relación con semanas previas (Gráfico 2).

Graph 1. CARPHA. Influenza virus distribution EW, EW 52, 2014-18. Distribución de virus influenza por SE, SE 52, 2014-18.



Graph 2. CARPHA. Influenza and RSV distribution, EW 52, 2014-18. Distribución de virus influenza y VSR, SE 52, 2014-18.

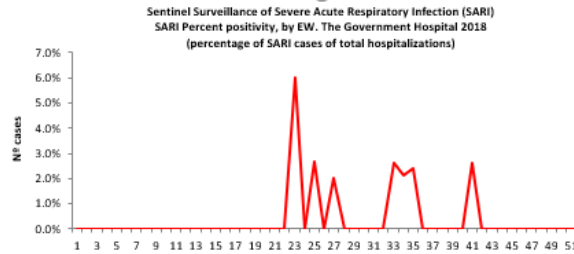


*To view more epi data, view [here](#). / Para ver mas datos epi, vea [aquí](#).

Cayman Island / Islas Caiman

- From EW 23 to EW 44, SARI activity remained at low levels, with no cases reported in EW 44 (Graph 1). / Desde la SE 23 a SE 44, la actividad de IRAG permaneció a niveles bajos, sin casos reportados en la SE 44 (Gráfico 1).

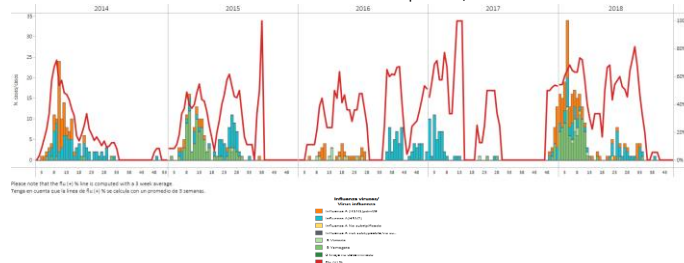
Graph 1. Cayman Island/ Islas Caiman: Percentage of SARI cases by EW, EW 44, 2018.
Porcentaje de casos de IRAG por SE, SE 44, 2018



French Guiana

- During EW 46, no influenza detections were reported; influenza A(H3N2) circulated in recent weeks (Graph 1). Influenza positivity was below the seasonal threshold and the average epidemic curve. / Durante la SE 46, no se reportaron detecciones de influenza, con circulación de influenza A(H3N2) en semanas recientes (Gráfico 1). La actividad de influenza se ubicó bajo el umbral estacional y la curva epidémica.

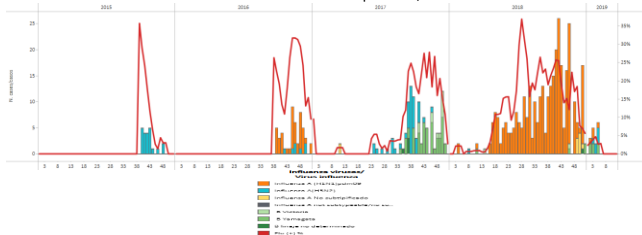
Graph 1. French Guiana: Influenza virus distribution EW, 2014-18. EW 46.
Distribución de virus influenza por SE, 2014-18. SE 46.



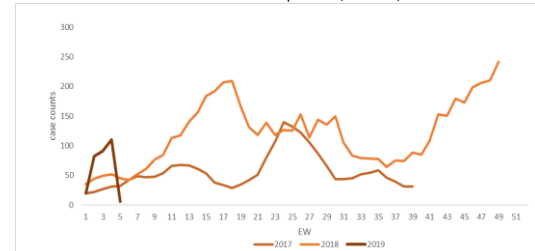
Haiti

- During EW 11, and in recent weeks, no influenza activity was reported (Graph 1). From EW 5 to EW 10 the number of SARI hospitalizations decreased substantially and was lower than the levels observed in the 2017-2018 seasons for the same period (Graph 2). / En la SE 11 y en las semanas previas, no se reportó actividad de influenza (Gráfico 1). Desde la SE 5 hasta la SE 10, el número de hospitalizaciones por IRAG disminuyó de manera importante y se ubicó por debajo de los niveles observados en las temporadas 2017-2018 para el mismo período (Gráfico 2).

Graph 1. Haiti: Influenza virus distribution by EW, EW 11, 2015-19
Distribución de virus influenza por SE, SE 11 2015-19



Graph 2. Haiti: Number of SARI cases, EW 10, 2017-2019
Número de casos de IRAG por SE, SE 10, 2017-2019

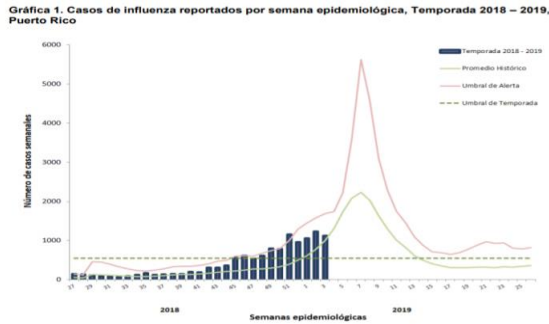


*To view more epi data, view [here](#). / Para ver más datos epi, vea [aquí](#).

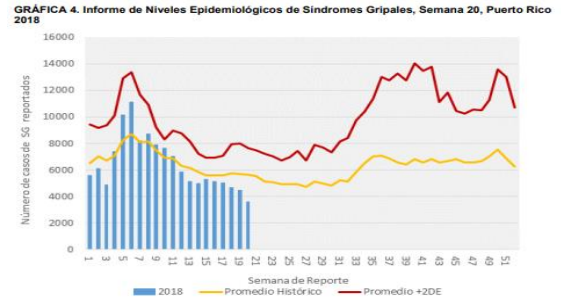
Puerto Rico

- During EW 3, increased influenza cases were detected above the seasonal threshold, with predominance of influenza A(H1N1)pdm09 (Graph 1). During EW 3, no ILI activity was reported, and it remained below the average epidemic curve up to EW 21, 2018 (Graph 2). / Durante la SE 3, se han detectado mayores casos de influenza sobre el umbral estacional, con predominio de influenza A(H1N1)pdm09 (Gráfico 1). Durante la SE 3, no se reportó actividad de ETI, y la misma permaneció por debajo de la curva epidémica media hasta la SE 21 de 2018 (Gráfico 2).

Graph 1. Puerto Rico: Influenza-positive cases by EW 3, 2018-19
Casos positivos para influenza SE 3, 2018-19



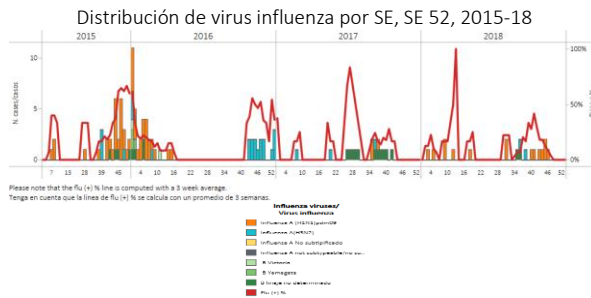
Graph 2. Puerto Rico: ILI epidemic rates by EW 20, 2018 /
Tasas de ETI por SE, SE 20, 2018.



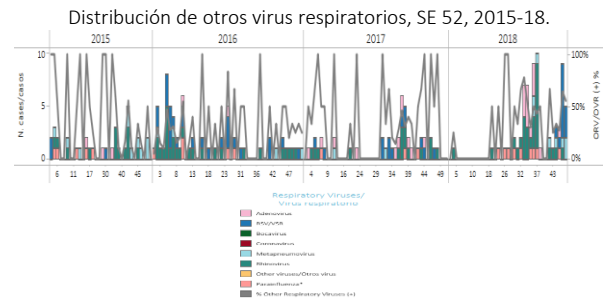
Trinidad & Tobago

- During EW 52, decreased influenza detections were reported, with influenza A(H1N1)pdm09 predominating in previous weeks (Graph 1). Rhinovirus and parainfluenza virus circulated in recent weeks, and there were no RSV detections reported (Graph 2). As of EW 45, SARI activity decreased from the previous week (Graph 3). / Durante la SE 52, se reportaron menores detecciones de influenza, con predominio de influenza A(H1N1)pdm09 en semanas previas (Gráfico 1). Rinovirus y parainfluenza circularon en semanas recientes y no se reportaron detecciones de VRS (Gráfico 2). Hasta la SE 45, la actividad de IRAG disminuyó con relación a la semana previa (Gráfico 3).

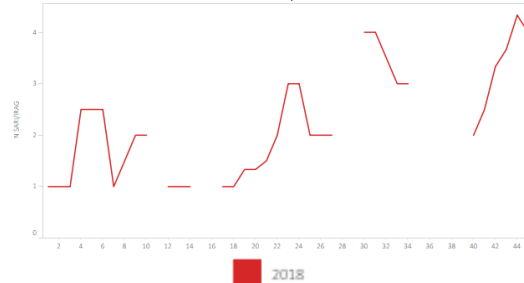
Graph 1. Trinidad & Tobago: Influenza virus distribution by EW, EW 52, 2015-18



Graph 2. Trinidad & Tobago. Other respiratory virus distribution, EW 52, 2015-18



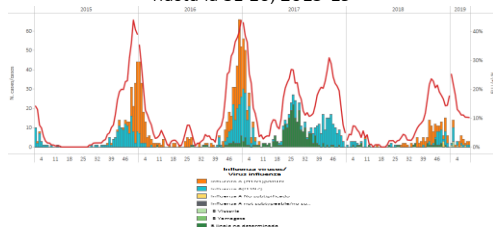
Graph 3. Trinidad & Tobago: Number of SARI cases by EW, EW 45, 2018
Numero de casos IRAG por SE, SE 45, 2018



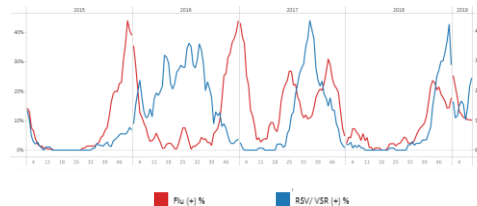
Costa Rica

- During EW 10, influenza activity remained stable with influenza A(H1N1)pdm09 and influenza A(H3N2) co-circulating (Graph 1); the percentage of positivity for influenza was above the alert threshold compared with the level of previous seasons (2010-2018) for the same period (Graph 4). RSV activity continues increased as compared to previous weeks (Graph 2). During EW 10, the percentage of SARI cases was lower than previous weeks although higher than levels observed during most of the previous seasons for the same period (Graph 3). / Durante la SE 10, la actividad de influenza permaneció estable con influenza A(H1N1)pdm08 e influenza A(H3N2) circulando simultáneamente (Gráfico 1); el porcentaje de positividad para la influenza estuvo por encima del umbral de alerta en comparación con los niveles de temporadas previas (2010-2018) (Gráfico 4). La actividad de VRS continúa aumentada en comparación con las semanas previas (Gráfico 2). En la SE 10, el porcentaje de casos de IRAG fue menor en comparación con semanas previas, aunque superior a los niveles de la mayoría de las temporadas anteriores para el mismo periodo (Gráfico 3).

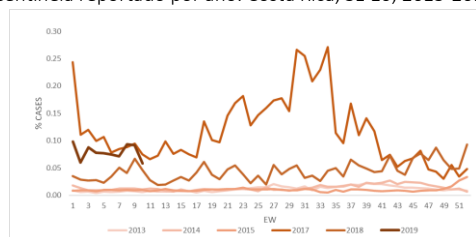
Graph 1. Costa Rica: Influenza virus distribution, Laboratory confirmed samples, by EW 10, 2015-19
Distribución de virus influenza confirmados por laboratorio hasta la SE 10, 2015-19



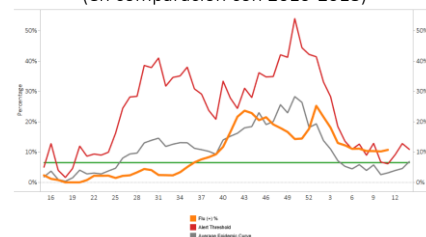
Graph 2. Costa Rica: Influenza and RSV distribution, EW 10, 2015-19
Distribución de los virus influenza y VRS; SE 10, 2015-19



Graph 3. Costa Rica: Proportion of SARI cases of all hospitalizations in reporting sentinel sites by year. Costa Rica, EW 10, 2015-2019
Proporción de casos de IRAG del total de hospitalizaciones en sitios centinela reportado por año. Costa Rica, SE 10, 2015-2019



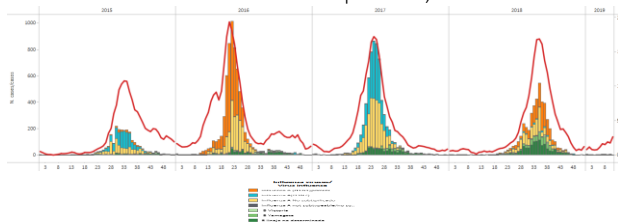
Graph 4. Costa Rica: Percent positivity for influenza, EW 10, 2019 (in comparison to 2010-2018)
Porcentaje de positividad de influenza, SE 10, 2019 (en comparación con 2010-2018)



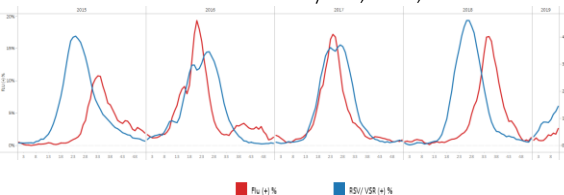
Argentina

- During EW 11 very low influenza activity was reported with influenza A predominance (Graphs 1, 2). RSV positivity increased and was comparable to the levels reported during the previous season for the same period (Graph 2), adenovirus and parainfluenza co-circulated. / Durante la SE 11, se notificó una actividad de influenza muy baja con predominio de influenza A (Gráficos 1, 2). La positividad del VRS aumentó y fue comparable a los niveles informados durante la temporada anterior para el mismo período (Gráfico 2), adenovirus y parainfluenza circularon simultáneamente.

Graph 1. Argentina - Influenza virus distribution by EW 11, 2015-2019
Distribución de virus influenza por SE 11, 2015-2019



Graph 2. Argentina - Influenza and RSV distribution by EW 8, 2015-2019
Distribución de virus influenza y VRS, SE 11, 2015-2019



This report summarizes³ the epidemiological and virological features of the laboratory-confirmed human cases of infection with influenza viruses of animal origin from 13 February 2019 to 9 April 2019.

1. **New infections¹:** Since the previous update on 12 February 2019, new human infections with avian influenza A(H7N9) and A(H9N2) viruses were reported.
2. **Risk assessment:** The overall public health risk from currently known influenza viruses at the human-animal interface has not changed, and the likelihood of sustained human-to-human transmission of these viruses remains low. Further human infections with viruses of animal origin are expected.
3. **IHR compliance:** All human infections caused by a new influenza subtype are required to be reported under the International Health Regulations (IHR, 2005).² This includes any influenza A virus that has demonstrated the capacity to infect a human and its hemagglutinin gene (or protein) is not a mutated form of those, i.e. A(H1) or A(H3), circulating widely in the human population. Information from these notifications is critical to inform risk assessments for influenza at the human-animal interface.

Este reporte resume las características epidemiológicas y virológicas de los casos confirmados en laboratorio de infección por virus influenza de origen animal del 13 de febrero al 9 de abril de 2019.

1. **Nuevas infecciones:** desde la actualización anterior el 12 de febrero de 2019, se reportaron nuevas infecciones en humanos con el virus influenza aviar A (H7N9) y (H9N2).
2. **Evaluación de riesgo:** El riesgo general para la salud pública de los virus influenza conocidos en la interfaz entre humanos y animales no ha cambiado, y la probabilidad de transmisión sostenida de estos virus sigue siendo baja. Se esperan más infecciones humanas con un virus de origen animal.
3. **Cumplimiento del RSI:** Todas las infecciones humanas causadas por un nuevo subtipo de influenza deben informarse según el Reglamento Sanitario Internacional (RSI 2005). Esto incluye cualquier virus de influenza A que haya demostrado la capacidad de infectar a un ser humano y su gen de la hemaglutinina (o proteína) no es una forma mutada de esos, es decir, A (H1) o A (H3), que circulan ampliamente en la población humana. La información de estas notificaciones es fundamental para comunicar las evaluaciones de riesgo de la influenza en la interfaz humano-animal.

Avian Influenza Viruses/Virus de la influenza aviar

Avian influenza A(H5) viruses/Virus de la influenza aviar A(H5)

Since the last update on 12 February 2019, no new laboratory-confirmed human cases of influenza A(H5) virus infections were reported to WHO. According to reports received by the World Organisation for Animal Health (OIE), various influenza A(H5) subtypes continue to be detected in birds in Africa, Europe and Asia. Overall, the risk assessment has not changed.

Desde la última actualización, el 12 de febrero de 2019, no se informó a la OMS de nuevos casos en humanos confirmados por laboratorio de infecciones por el virus de la influenza A (H5). Según los informes recibidos por la Organización Mundial de Sanidad Animal (OIE), se siguen detectando varios subtipos de influenza A (H5) en aves de África, Europa y Asia. En general, la evaluación de riesgos no ha cambiado.

¹ For epidemiological and virologic features of human infections with animal influenza viruses not reported in this assessment, see the yearly report on human cases of influenza at the human-animal interface published in the Weekly Epidemiological Record. Available at: www.who.int/wer/en/

² World Health Organization. Case definitions for the four diseases requiring notification in all circumstances under the International Health Regulations (2005). Available at: www.who.int/ihr/Case_Definitions.pdf

³ OIE World Animal Health Information Database (WAHIS Interface).

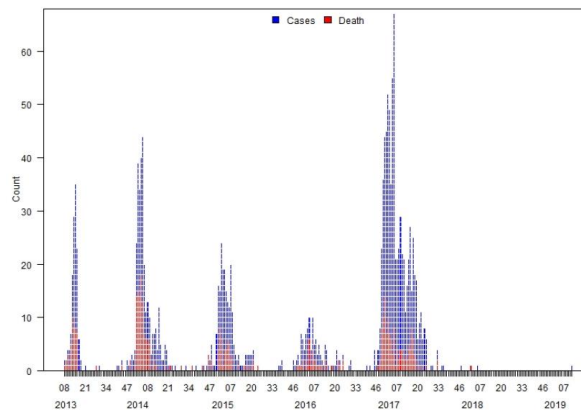
www.oie.int/wahis_2/public/wahid.php/Reviewreport/Review?page_refer=MapFullEventReport&reportid=29961

Avian influenza A(H7N9) viruses/Virus de la influenza aviar A(H7N9)

Since the last update on 12 February 2019, one new laboratory-confirmed human case of influenza A(H7N9) virus infection was reported to WHO by China. An 82-year-old male developed illness on 18 March 2019 and was hospitalized on 31 March 2019 with severe pneumonia. The case was reported from Gansu province, but potential exposure reportedly occurred in the Inner Mongolia region of China. No further human cases were reported among his close contacts. Additional information on the potential exposure and the virus from the case are anticipated. Desde la última actualización, el 12 de febrero de 2019, China notificó a la OMS un nuevo caso confirmado por laboratorio de infección por el virus de la influenza A (H7N9). Un varón de 82 años se enfermó el 18 de marzo y fue hospitalizado el 31 de marzo de 2019 con neumonía grave. El caso fue reportado en la provincia de Gansu, pero se informó que la exposición potencial ocurrió en la región de Mongolia Interior en China. No se reportaron más casos humanos entre sus contactos cercanos. Se anticipa información adicional del caso sobre la exposición potencial y el virus.

Since 2013, a total of 1568 laboratory-confirmed cases of human infection with avian influenza A(H7N9) viruses, have been reported to WHO (Figure 1). There have been no publicly available reports from animal health authorities in China of detections of influenza A(H7N9) virus in animals this year, except for one report of an outbreak in domesticated birds in Liaoning Province³. Desde 2013, se han notificado a la OMS un total de 1.568 casos confirmados por laboratorio de infección humana con el virus de la influenza aviaria A (H7N9) (Figura 1). Este año no ha habido informes públicos de las autoridades de sanidad animal en China sobre detecciones del virus de la influenza A (H7N9) en animales, a excepción de un informe de un brote en aves domésticas en la provincia de Liaoning

Figure 1: Epidemiological curve of avian influenza A(H7N9) cases in humans by week of onset, 2013-2019. / Curva epidemiológica de casos de influenza aviar A (H7N9) en humanos por semana de inicio, 2013-2019



Avian influenza A(H9N2) viruses/Virus de la influenza aviar A(H9N2)

Since the last update on 12 February 2019, one new laboratory-confirmed human case of influenza A(H9N2) virus infection was reported to WHO from China. Desde la última actualización, el 12 de febrero de 2019, China informó a la OMS un nuevo caso confirmado por laboratorio de infección por el virus de la influenza A(H9N2).

A 9-year-old male from Jiangsu province developed illness on 15 March 2019 and was hospitalized the next day with severe pneumonia. The case reportedly had exposure to a live poultry market. No further human cases were reported among his close contacts. Characterization of the virus from this case has been completed at the WHO Collaborating Centre in Beijing, China. Un niño de 9 años de la provincia de Jiangsu se enfermó el 15 de marzo de 2019 y fue hospitalizado al día siguiente por una neumonía grave. El caso supuestamente estuvo expuesto a un mercado de aves vivas. No se reportaron más casos humanos entre sus contactos cercanos. La caracterización del virus de este caso se realizó en el Centro Colaborador de la OMS en Beijing, China.

⁴ World Health Organization. Case definitions for the four diseases requiring notification in all circumstances under the International Health Regulations (2005). Available at: www.who.int/ihr/Case_Definitions.pdf

⁵ World Health Organization. Manual for the laboratory diagnosis and virologic surveillance of influenza (2011). Available at: www.who.int/influenza/gisrs_laboratory/manual_diagnosis_surveillance_influenza/en/

ACRONYMS

ARI	Acute Respiratory Infection
CARPHA	Caribbean Public Health Agency
CENETROP	Centro de Enfermedades Tropicales (Santa Cruz, Bolivia)
EW	Epidemiological Week
ILI	Influenza-like illness
INLASA	Instituto Nacional de Laboratorios de Salud (La Paz, Bolivia)
INS	Instituto Nacional de Salud
ORV	Other respiratory viruses
SARI	Severe acute respiratory infection
SEDES	Servicio Departamental de Salud (Bolivia)
ICU	Intensive Care Unit
RSV	Respiratory Syncytial Virus

ACRÓNIMOS

CARPHA	Agencia de Salud Pública del Caribe/Caribbean Public Health Agency
CENETROP	Centro de Enfermedades Tropicales (Santa Cruz, Bolivia)
ETI	Enfermedad Tipo influenza
INLASA	Instituto Nacional de Laboratorios de Salud (La Paz, Bolivia)
INS	Instituto Nacional de Salud
IRA	Infección Respiratoria Aguda
IRAG	Infección Respiratoria Aguda grave
OVR	Otros virus respiratorios
SE	Semana epidemiológica
SEDES	Servicio Departamental de Salud (Bolivia)
UCI	Unidad de Cuidados Intensivos
VRS	Virus Respiratorio Sincitial